



# **Katz und Maus – Kameratests im Wandel der Zeit**

Uwe Artmann

Image Engineering GmbH & Co KG



- **Kameras werden besser – Messverfahren müssen mithalten**
- Neue Technologien erfordern neue Messverfahren
- Was der Kunde nicht weiß... Den Finger in die Wunde legen



# Objektive Tests

1997



Image Engineering Diemtar Wüller  
Erster Digitalkameratest für ColorFoto

**14 Einsteigerkameras im Vergleich**

**Auflösung, Farben, Bildrassen – der erste Digitalkameratest, der auf exakten Messdaten basiert.** Wir vergleichen vierzehn Digitalkameras in zwei Klassen mit 300 000 und 600 000 Bildpunkten.

**Das erste Messverfahren für Digitalkameras**

**Die Testtabelle**

**www.image-engineering.de**



# Objektive Tests

1998

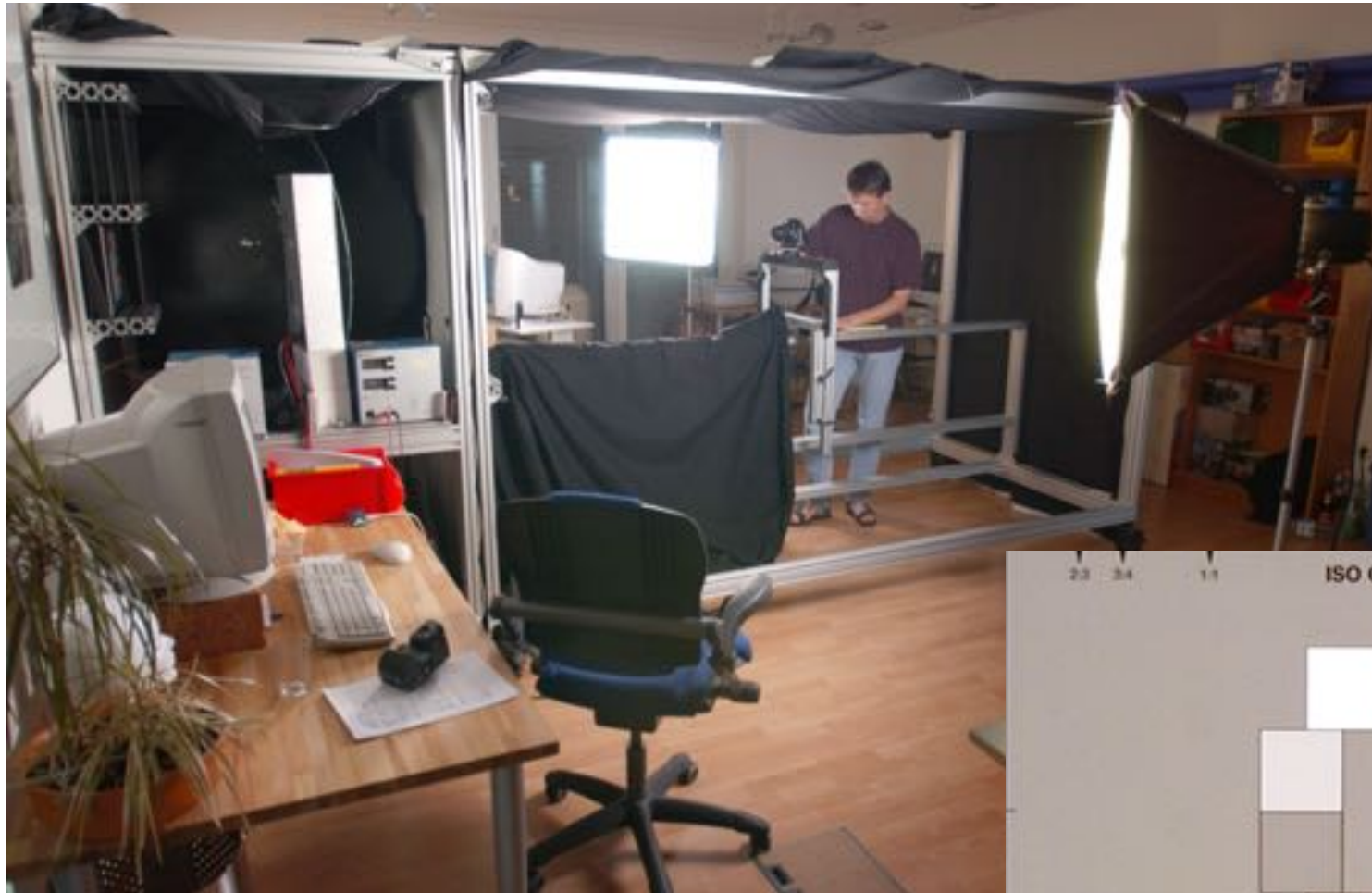
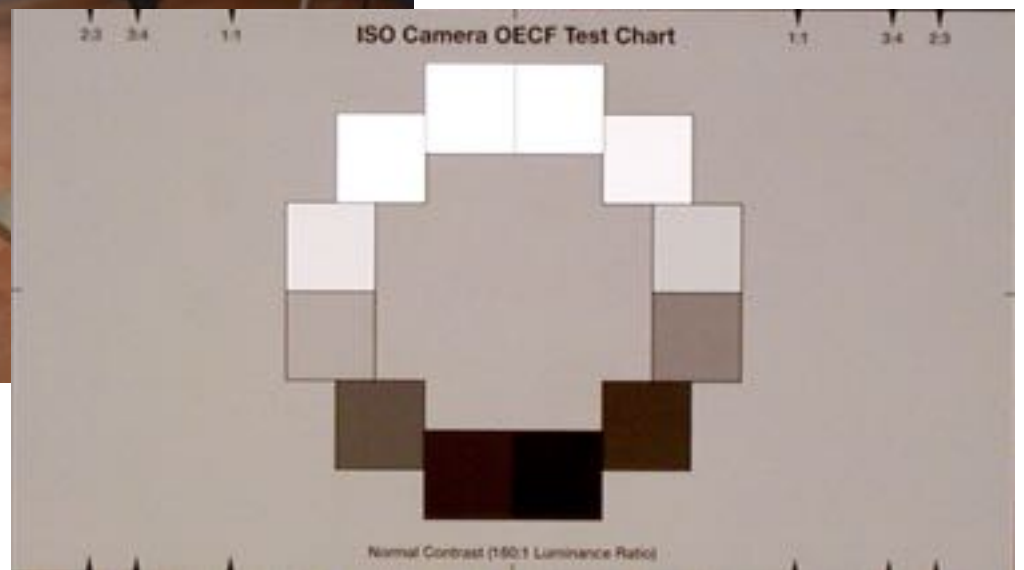
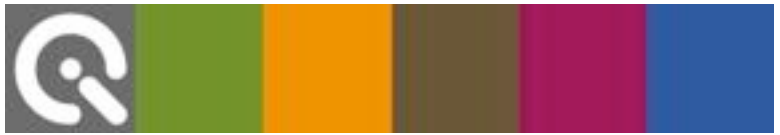


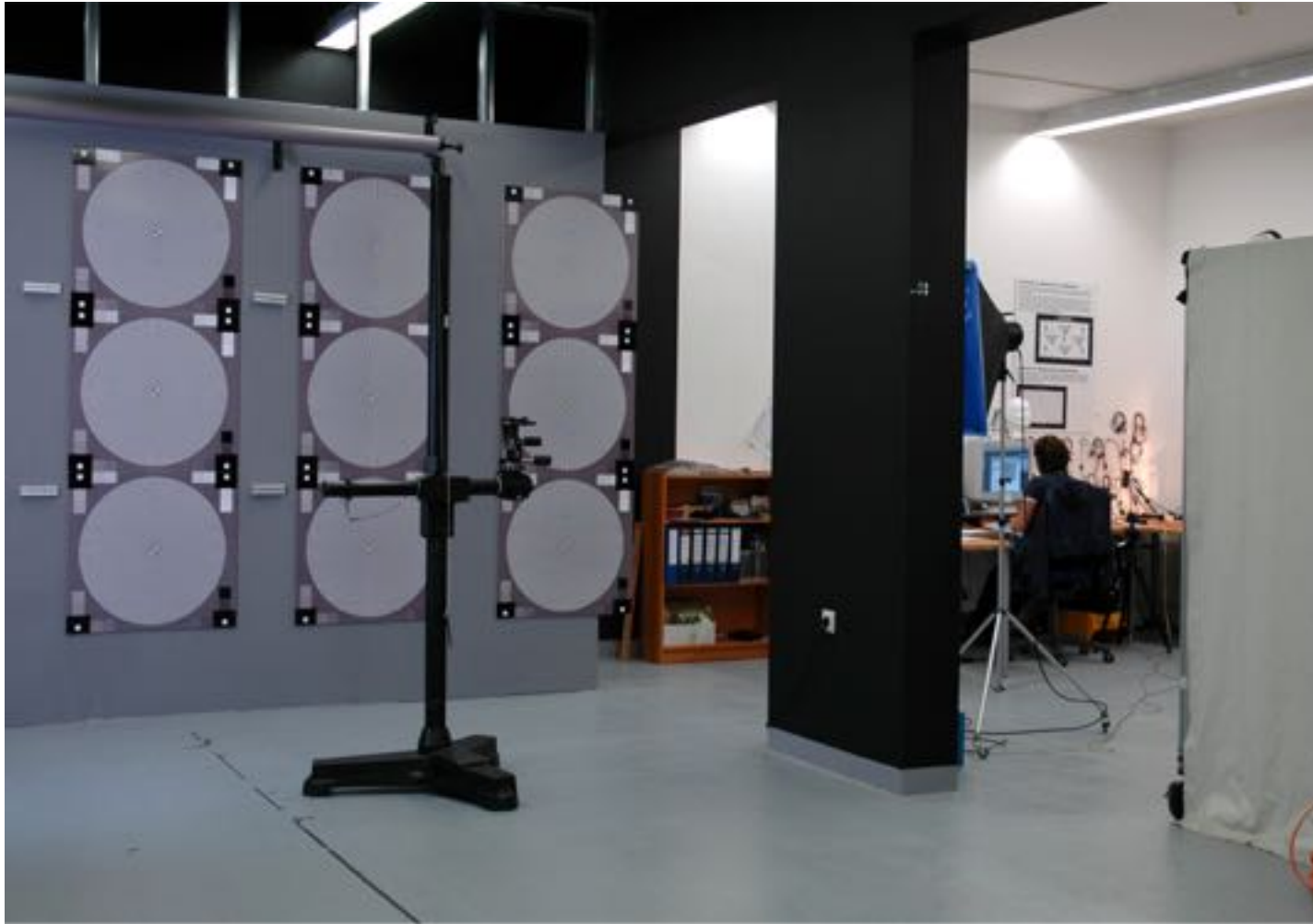
Image Engineering Diemtar Wüller  
Erster Digitalkameratest für ColorFoto





Objektive Tests

2004



“Image Engineering Diemtar Wüller”  
Komplett digitaler Objektivtest





The image part with relationship ID rld2 was  
not found in the file.

# Objektive Tests

2015

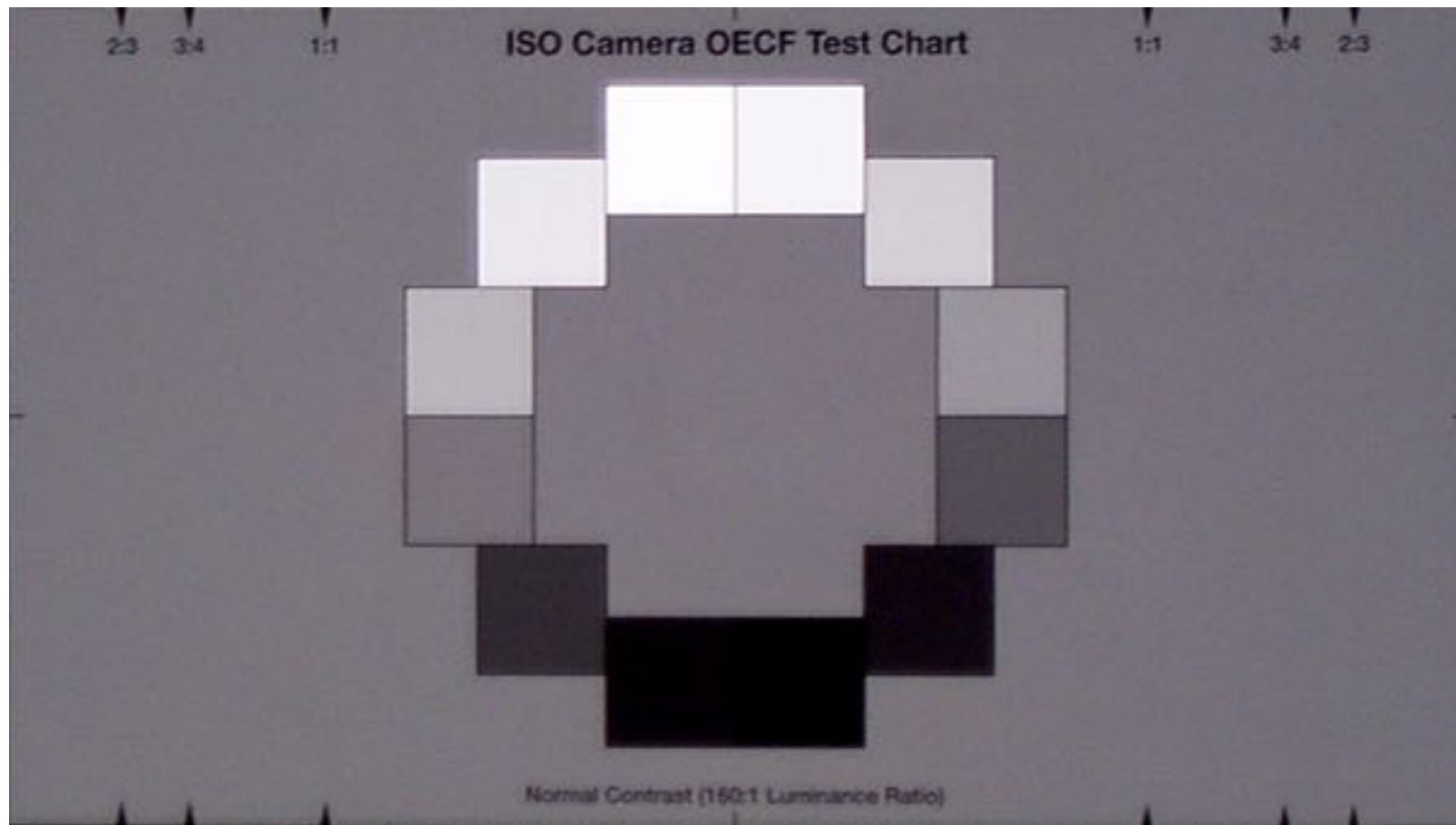


Vollautomatisierter Teststand im Kundenauftrag

[www.image-engineering.de](http://www.image-engineering.de)



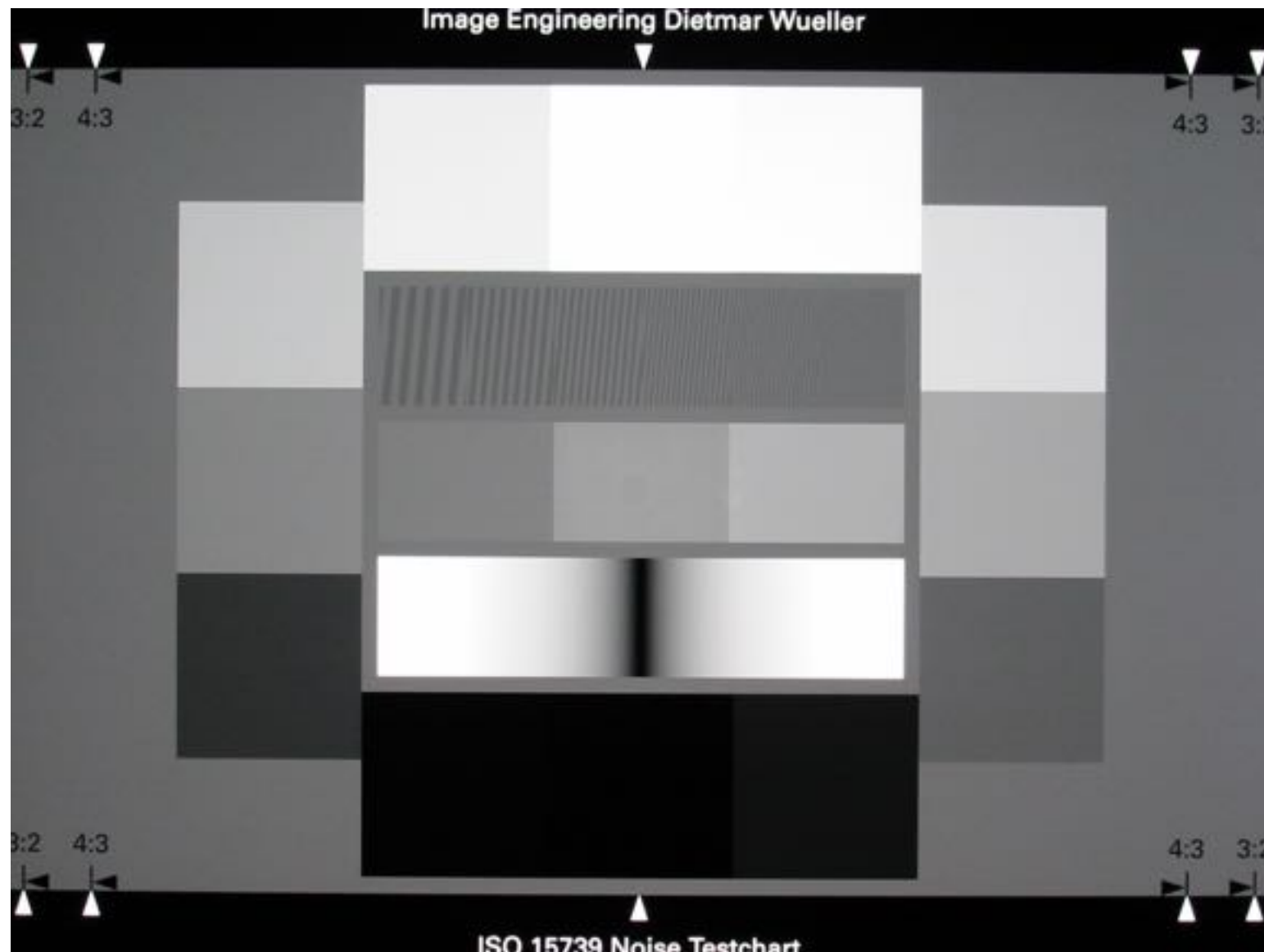
# Weiterentwicklung



Kontrast 160:1 – ab 1997



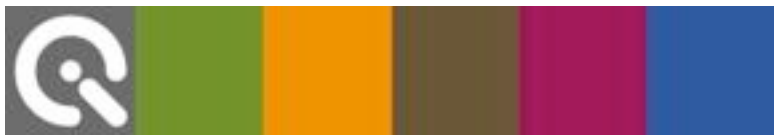
# Weiterentwicklung



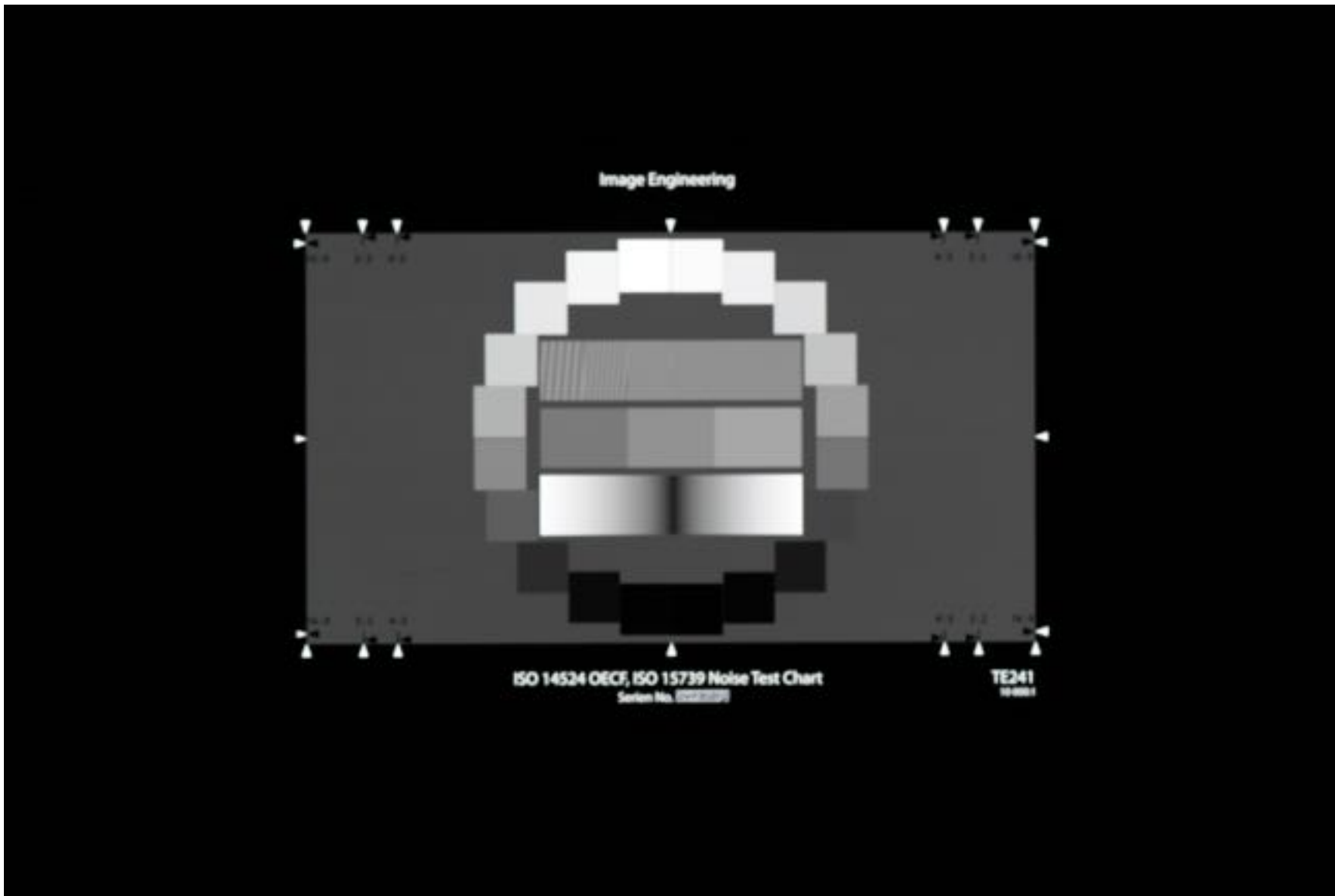
Kontrast 1000:1 – ab 2000

[www.image-engineering.de](http://www.image-engineering.de)





# Weiterentwicklung



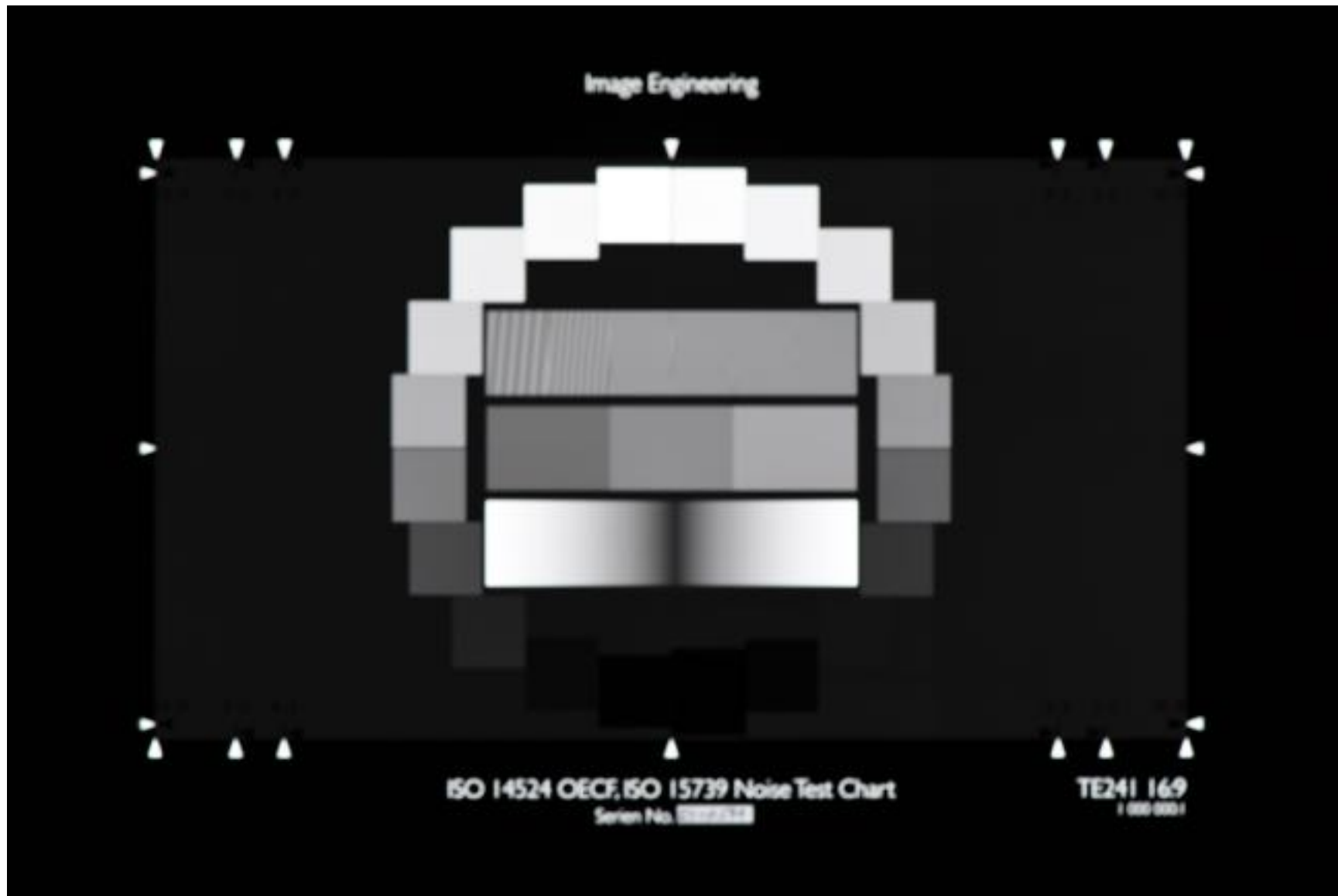
Kontrast 10.000:1 – ab 2003

[www.image-engineering.de](http://www.image-engineering.de)





# Weiterentwicklung



Kontrast 1.000.000:1 – ab 2015

[www.image-engineering.de](http://www.image-engineering.de)



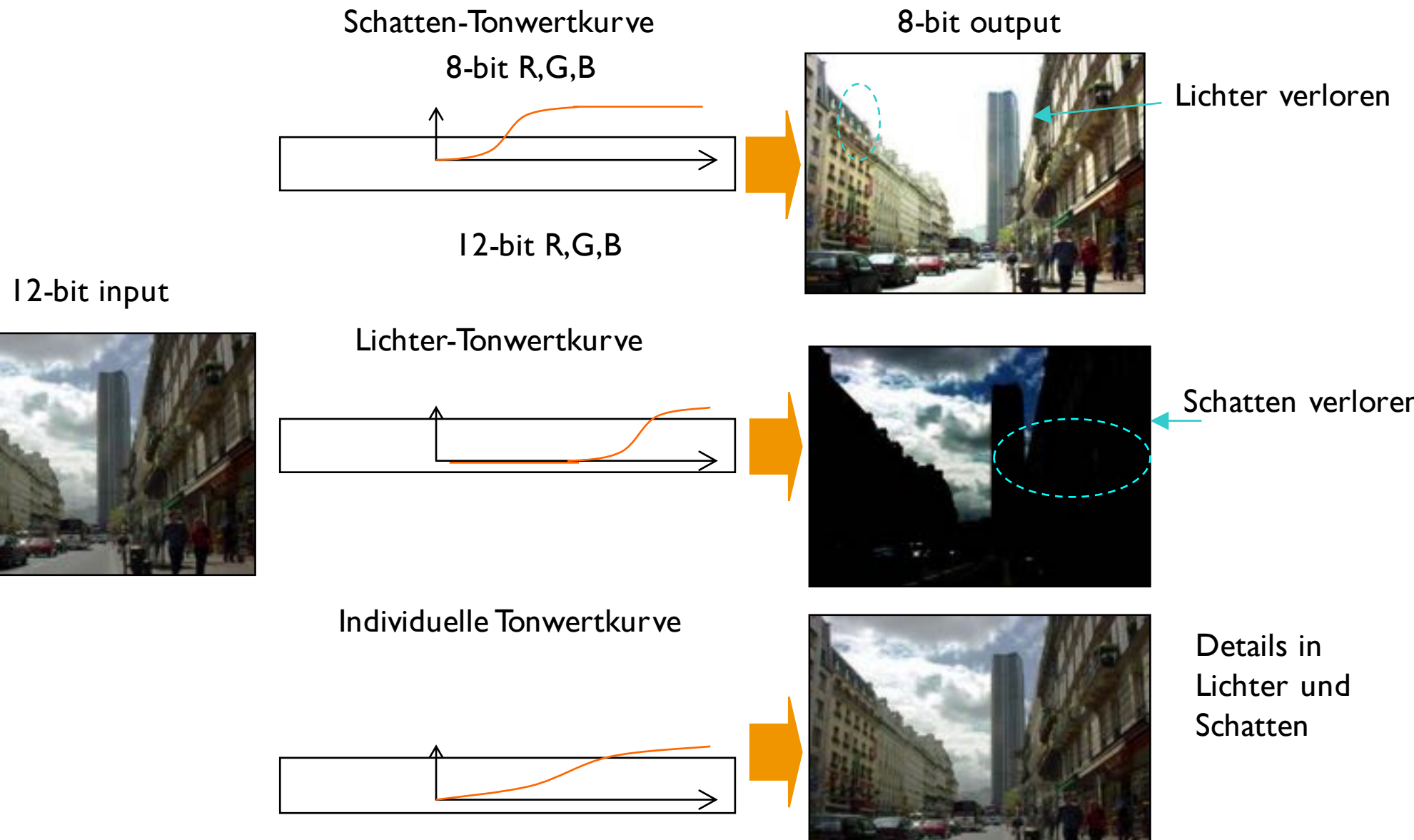


# Dynamic Range





# Rendering





HDR





HDR





# Objektive Tests

2004



Auflösungsmessung mit  
harmonischen  
Siemenssternen.

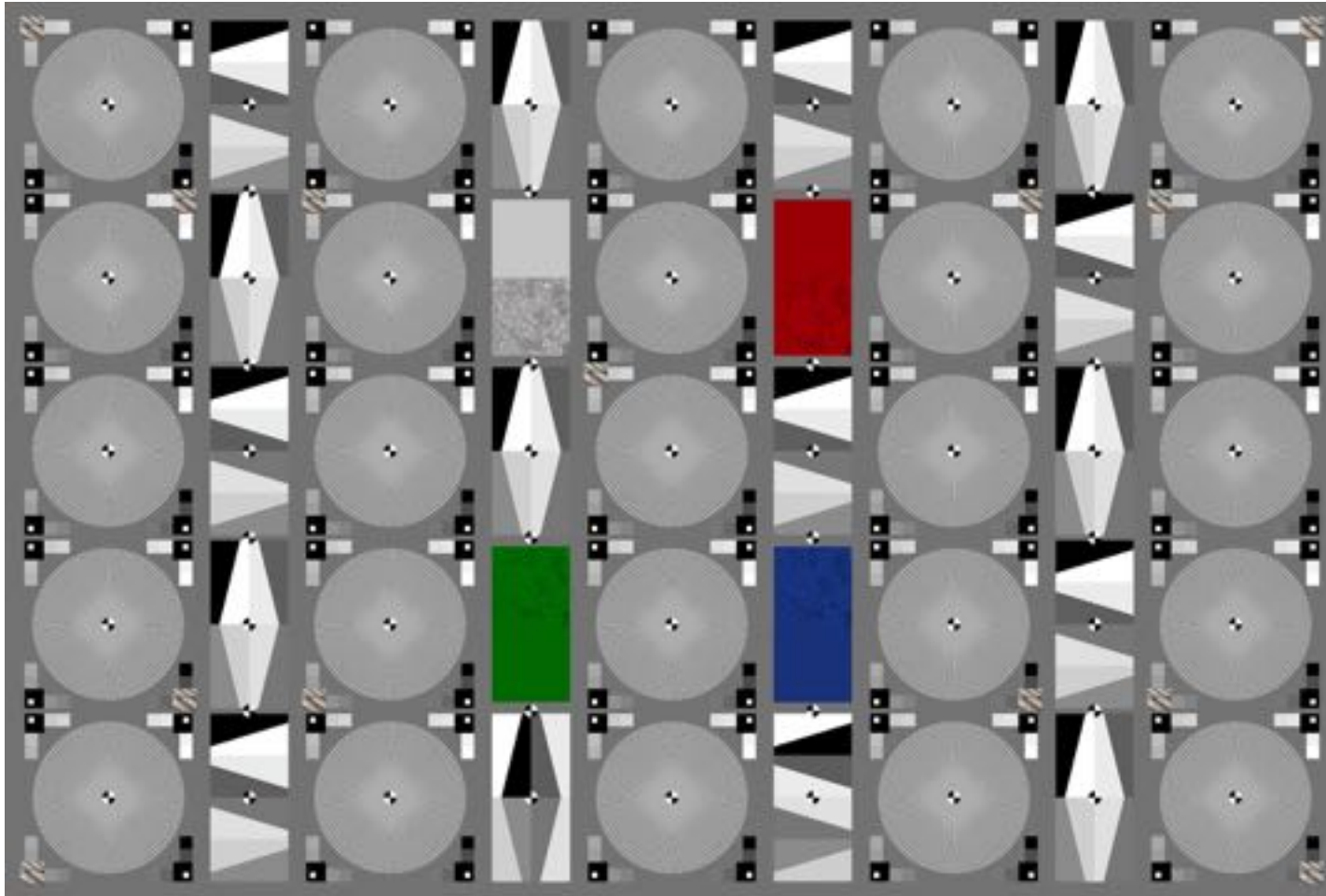
- 2,1m hohes Chart
- max. 20 Megapixel

“Image Engineering Diemtar Wüller”  
Komplett digitaler Objektivtest



# Objektive Tests

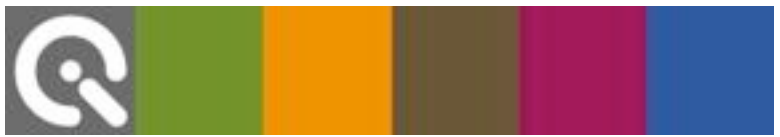
2006



Auflösungsmessung mit  
harmonischen  
Siemenssternen.

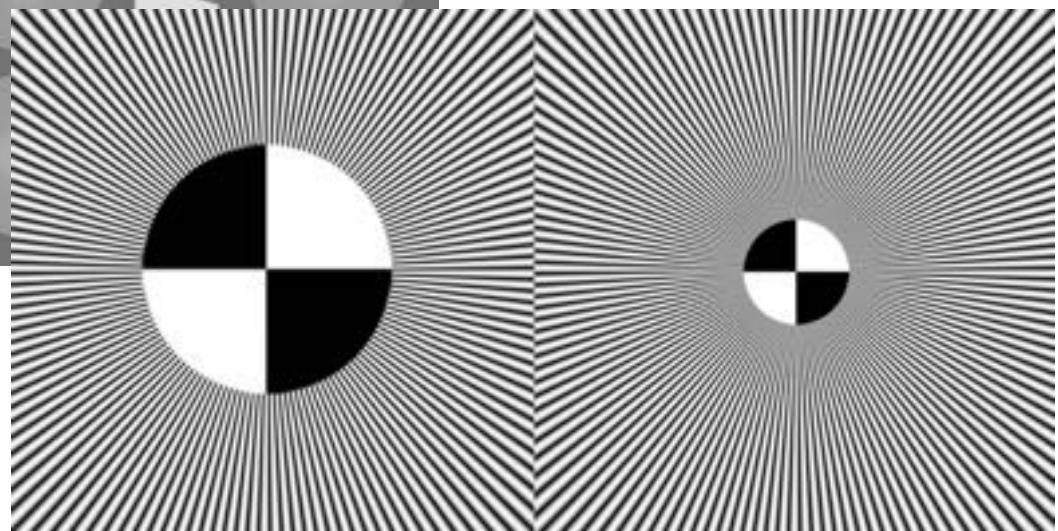
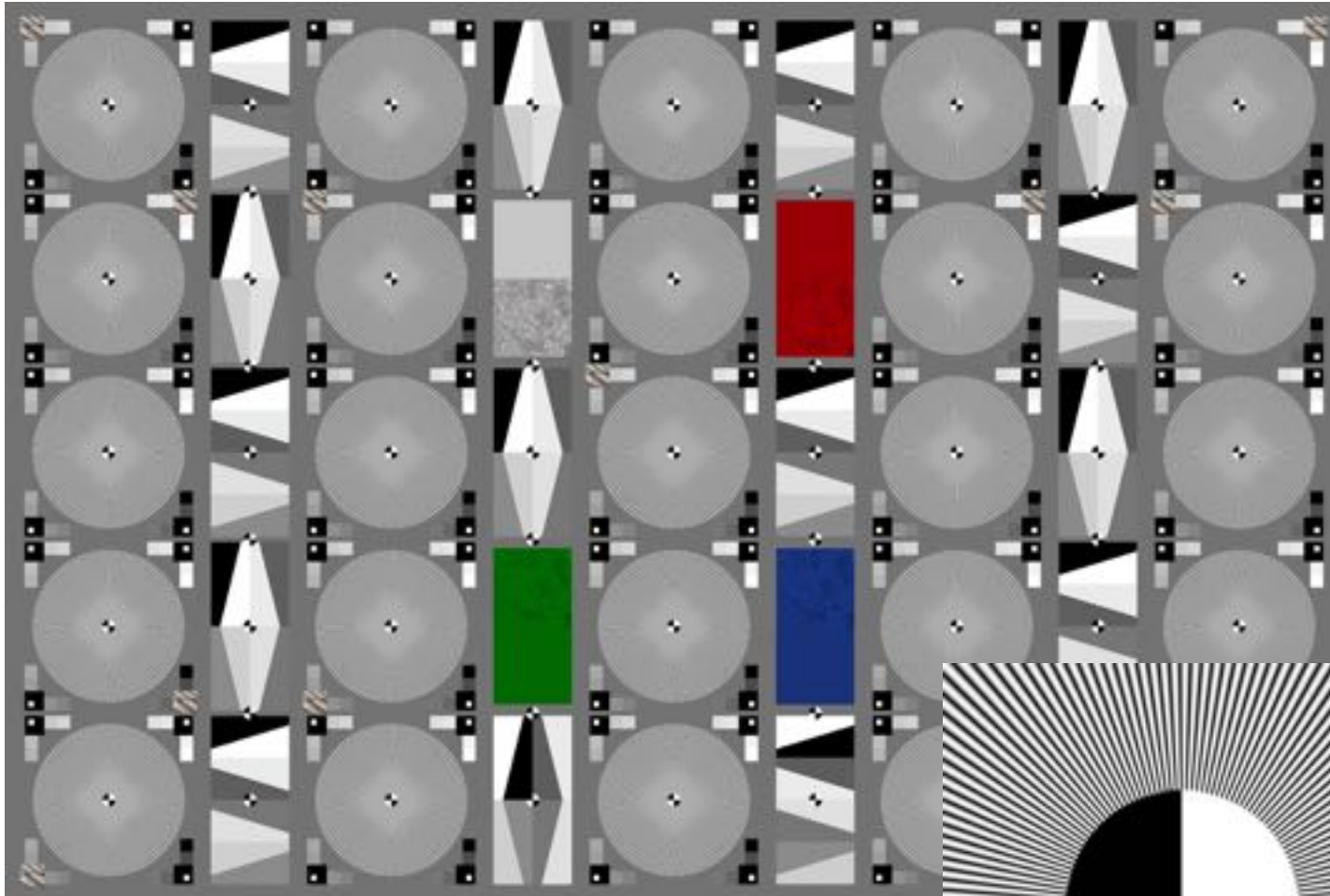
- 0,8m hohes Chart
- max. 30 Megapixel





# Objektive Tests

2013



12mm → 5mm

[www.image-engineering.de](http://www.image-engineering.de)





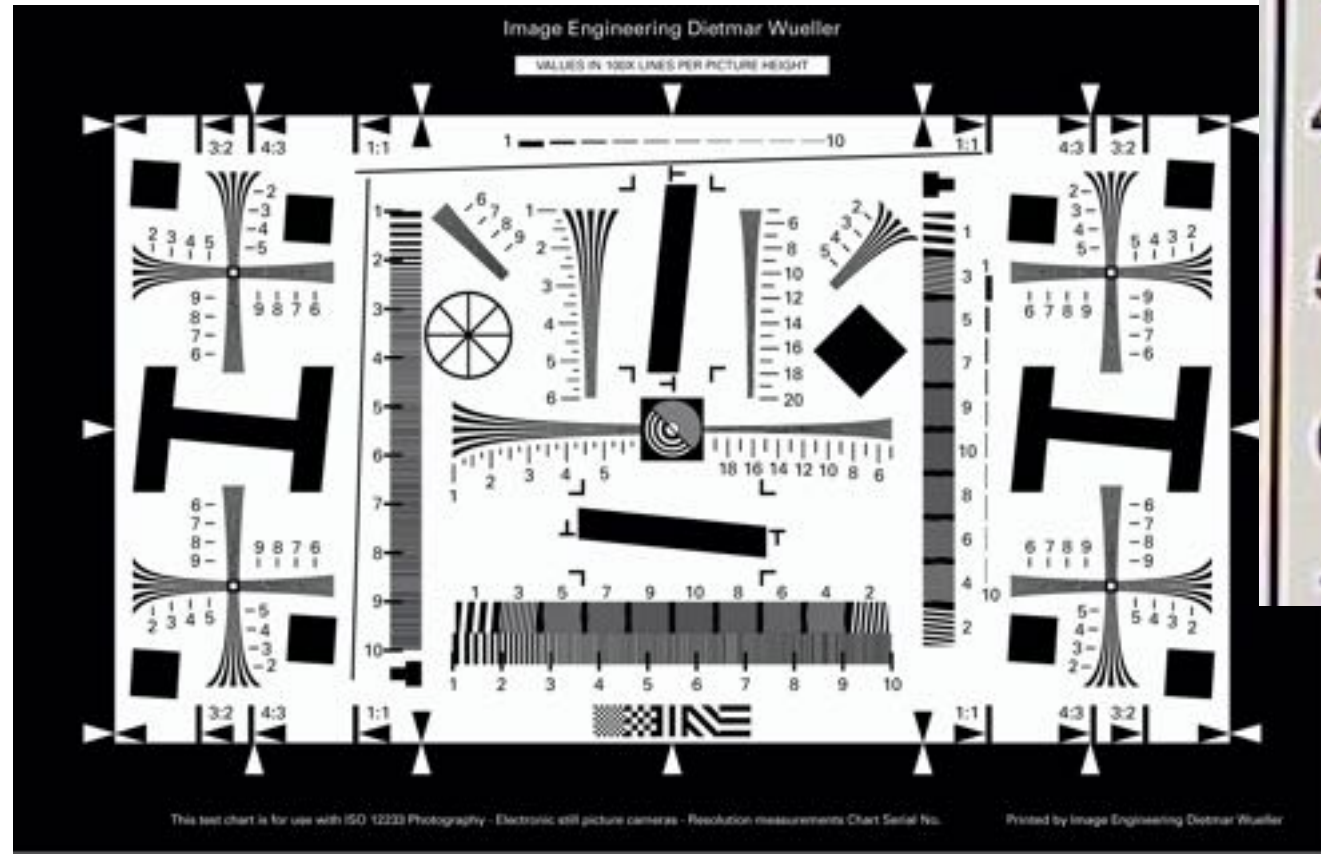
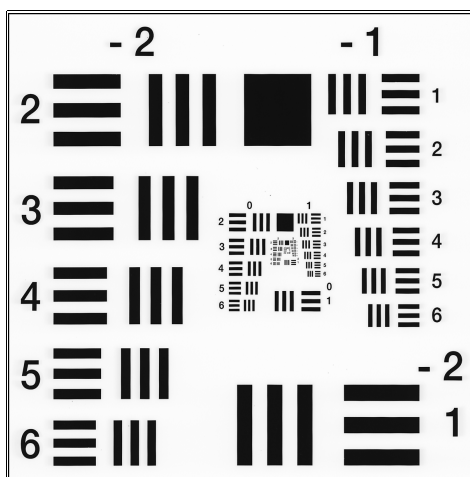
- Kameras werden besser – Messverfahren müssen mithalten
- **Neue Technologien erfordern neue Messverfahren**
- Was der Kunde nicht weiß... Den Finger in die Wunde legen



Auflösung

## ISO12233 – 2000 // Visuelle Auswertung oder Kante

USAF Chart

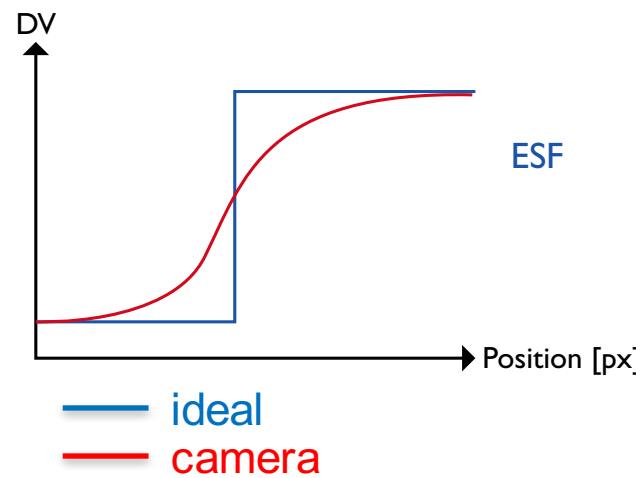


ISO 12233-2000



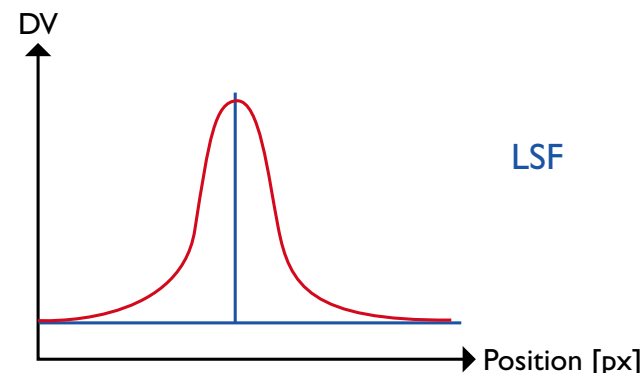
# Resolution – Slanted edge

Edge Spread Function  
 $f(x)$

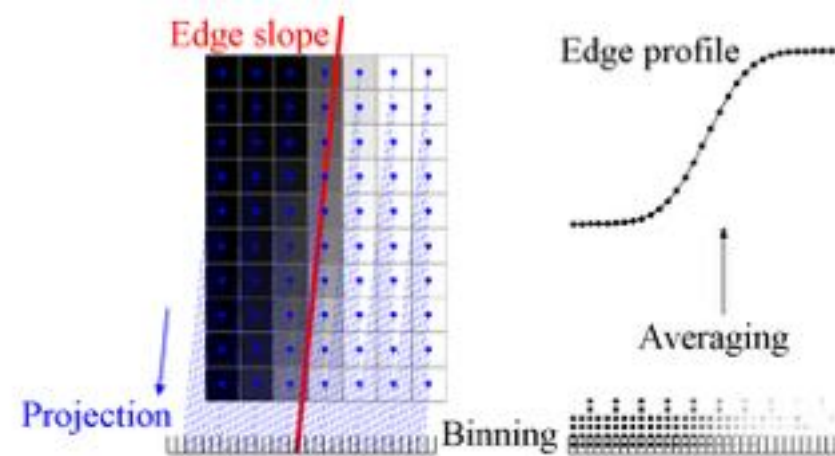
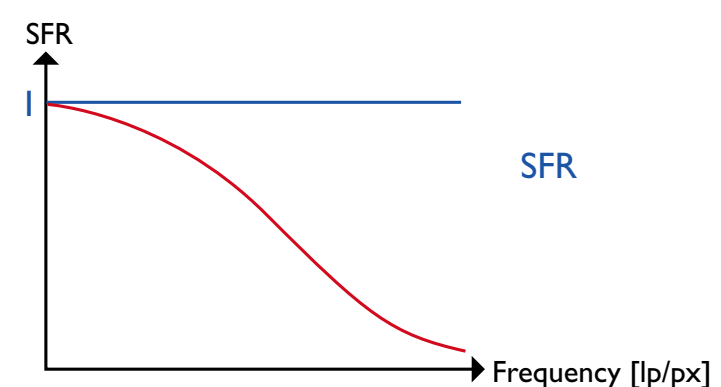


(a)

Line Spread Function  
 $f'(x)$



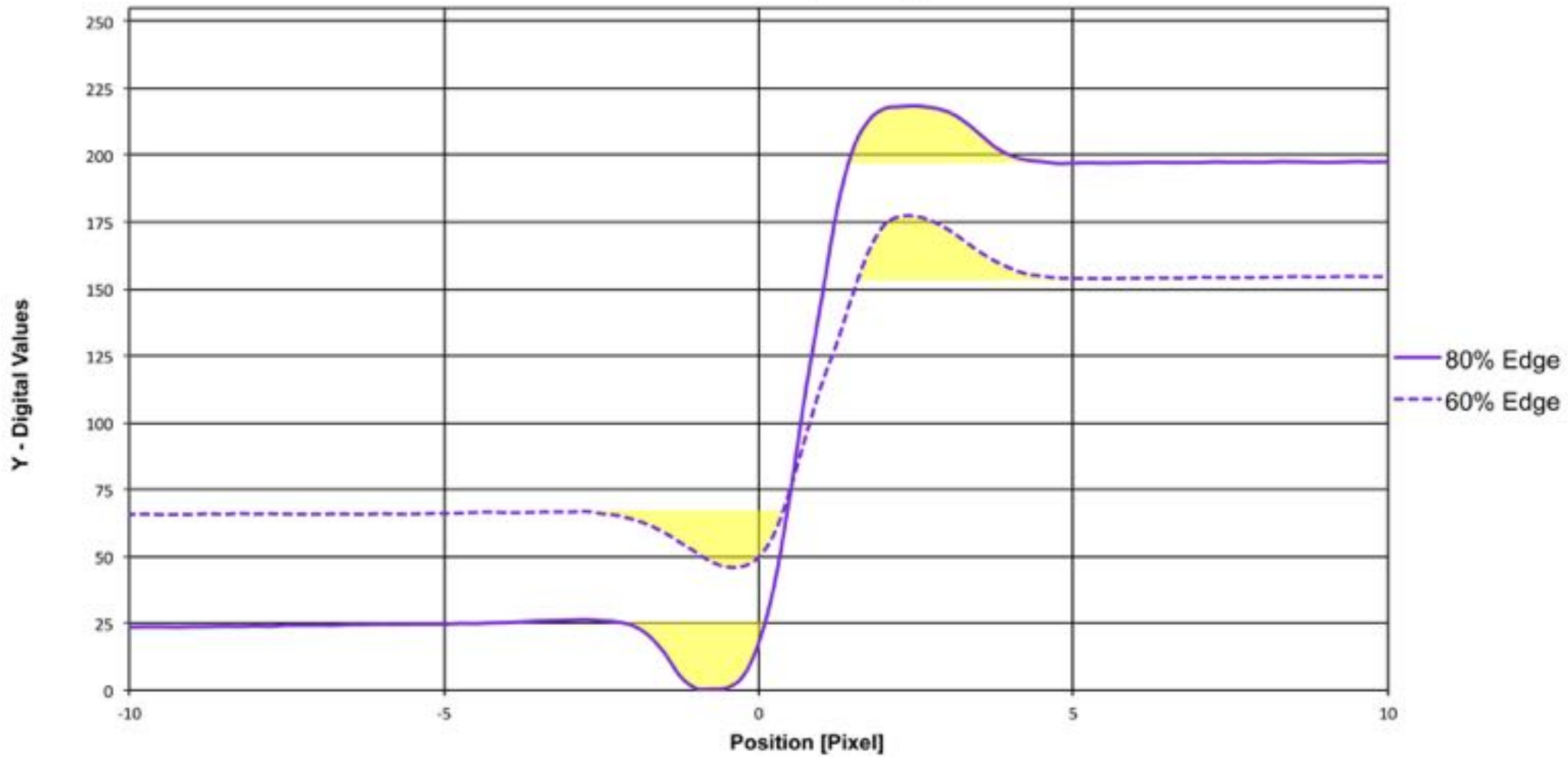
SFR  
 $\text{Fourier}(f'(x))$

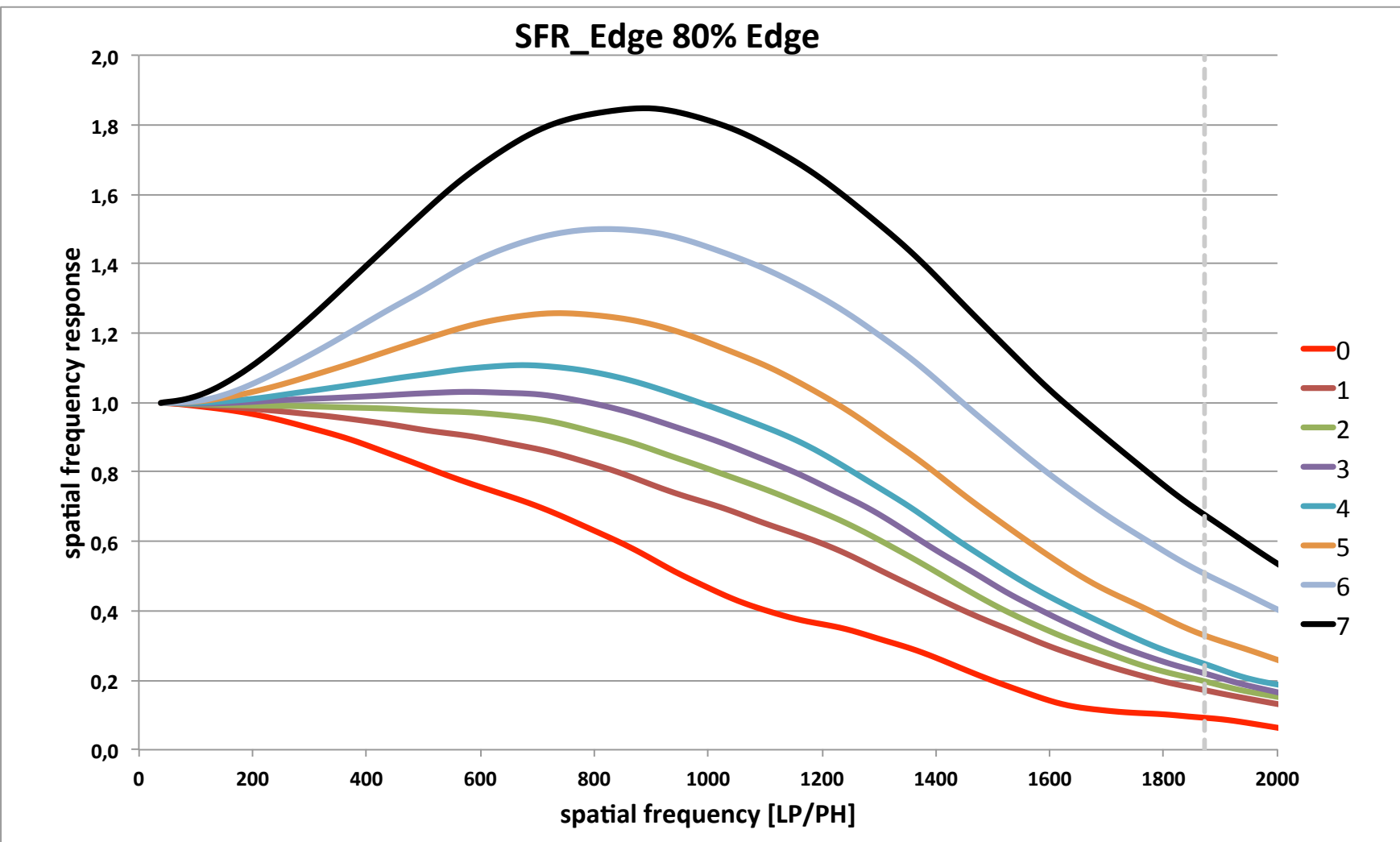


(b)



## ESF - Sharpening

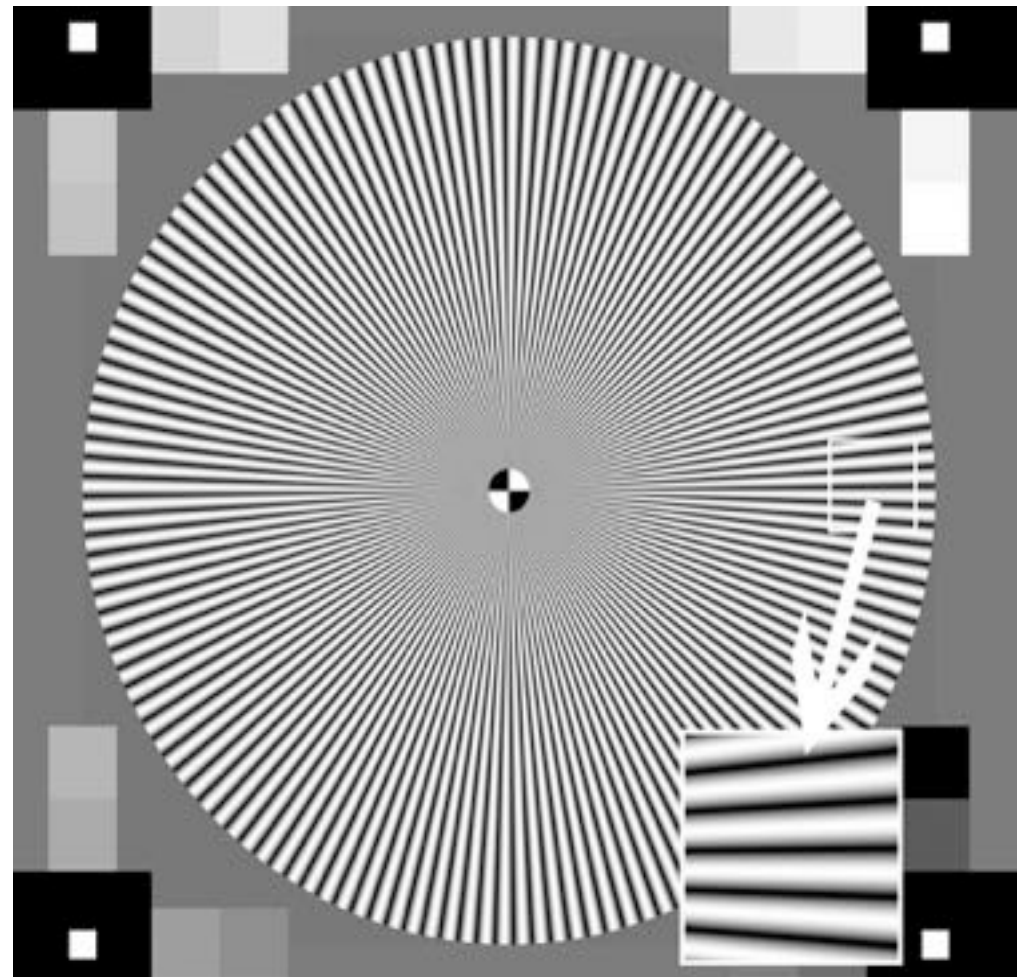
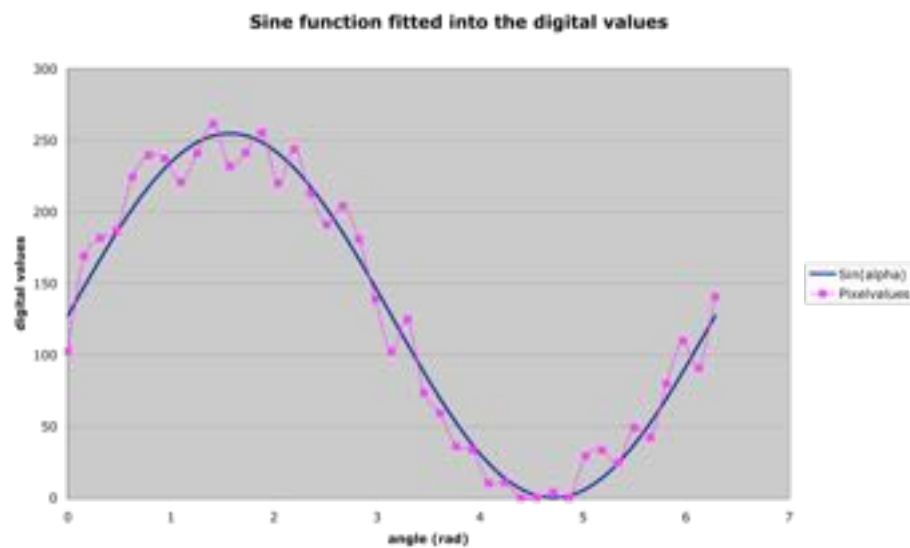
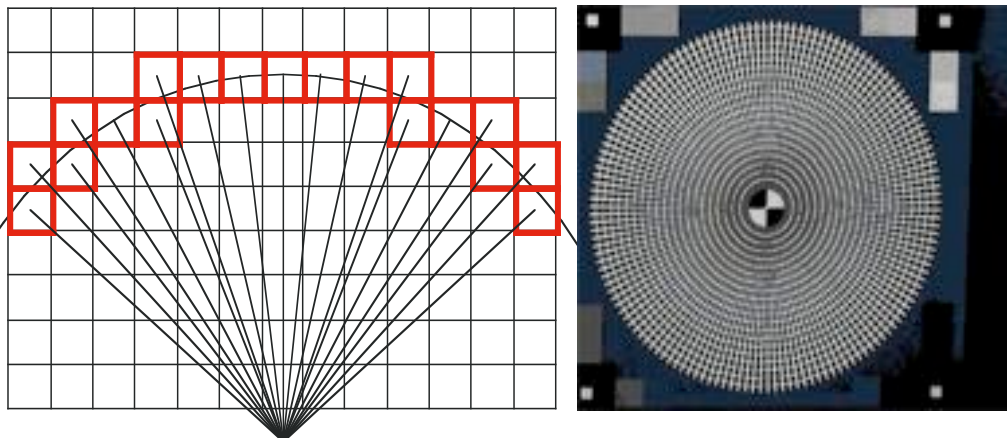




Die Analyse der schrägen Kante ist stark durch Bildoptimierung wie z.B. Schärfung beeinflusst.

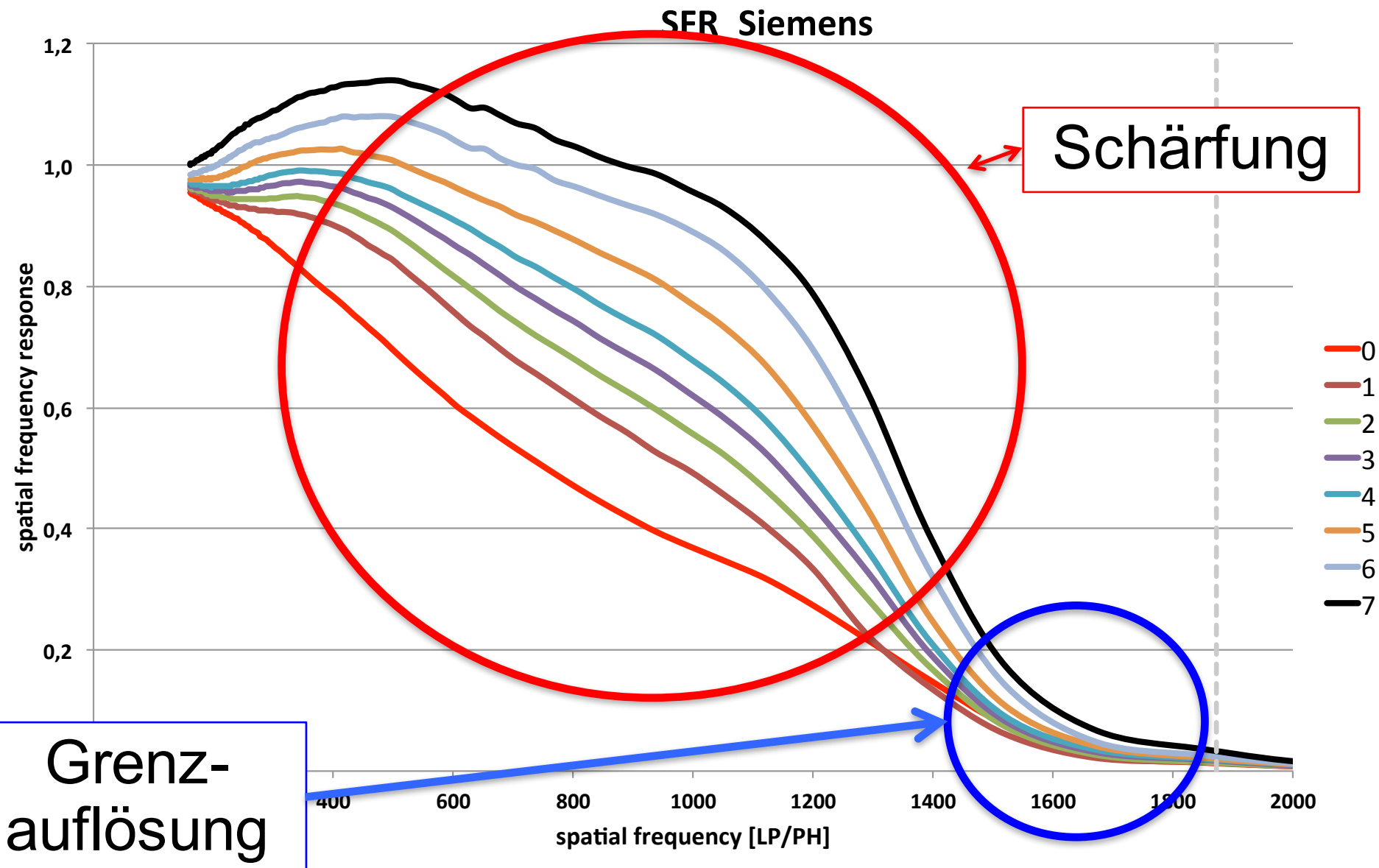


# Auflösungsmessung



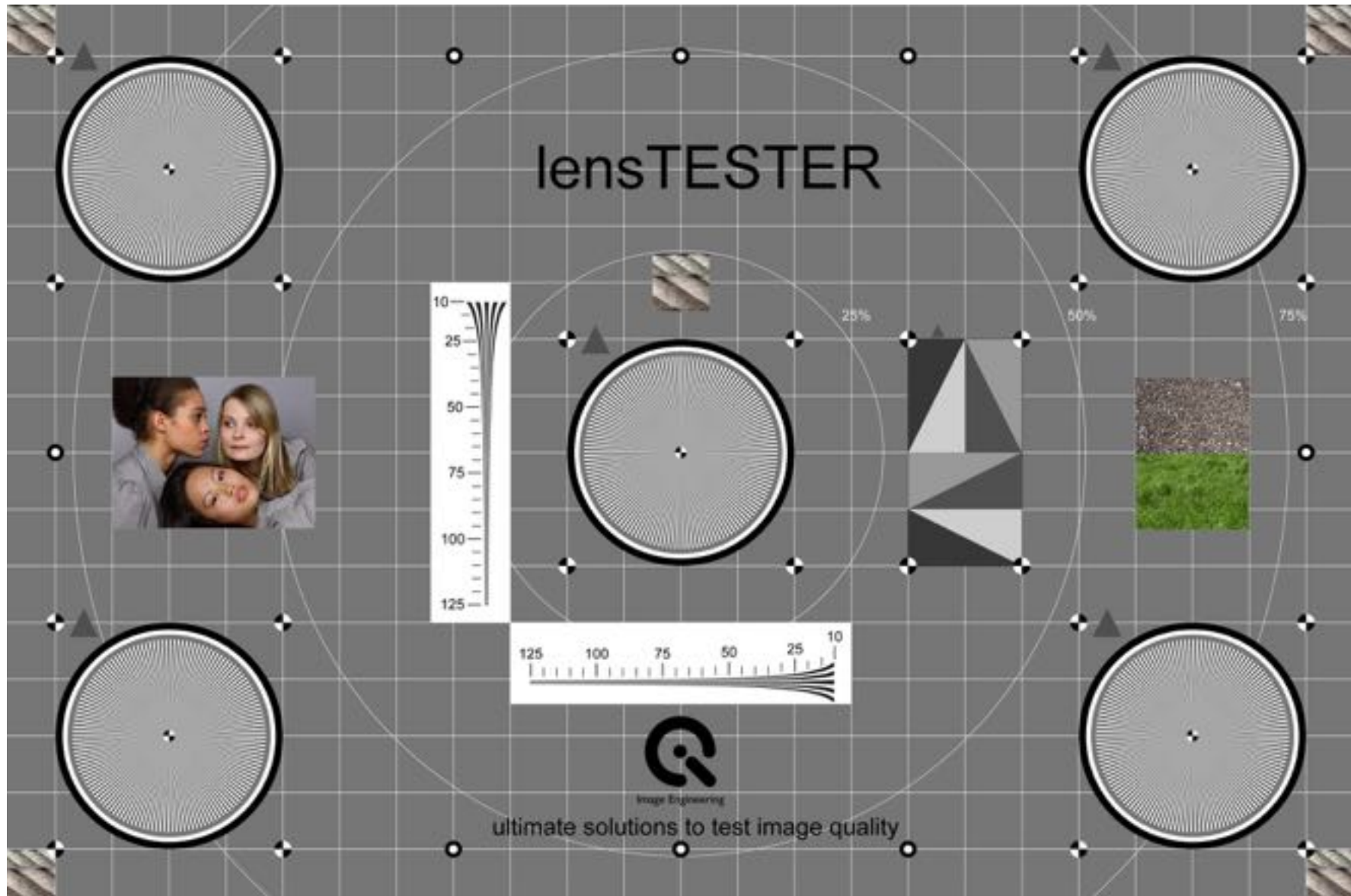
ISO12233-2014  
Entwickelt durch Image Engineering 2003







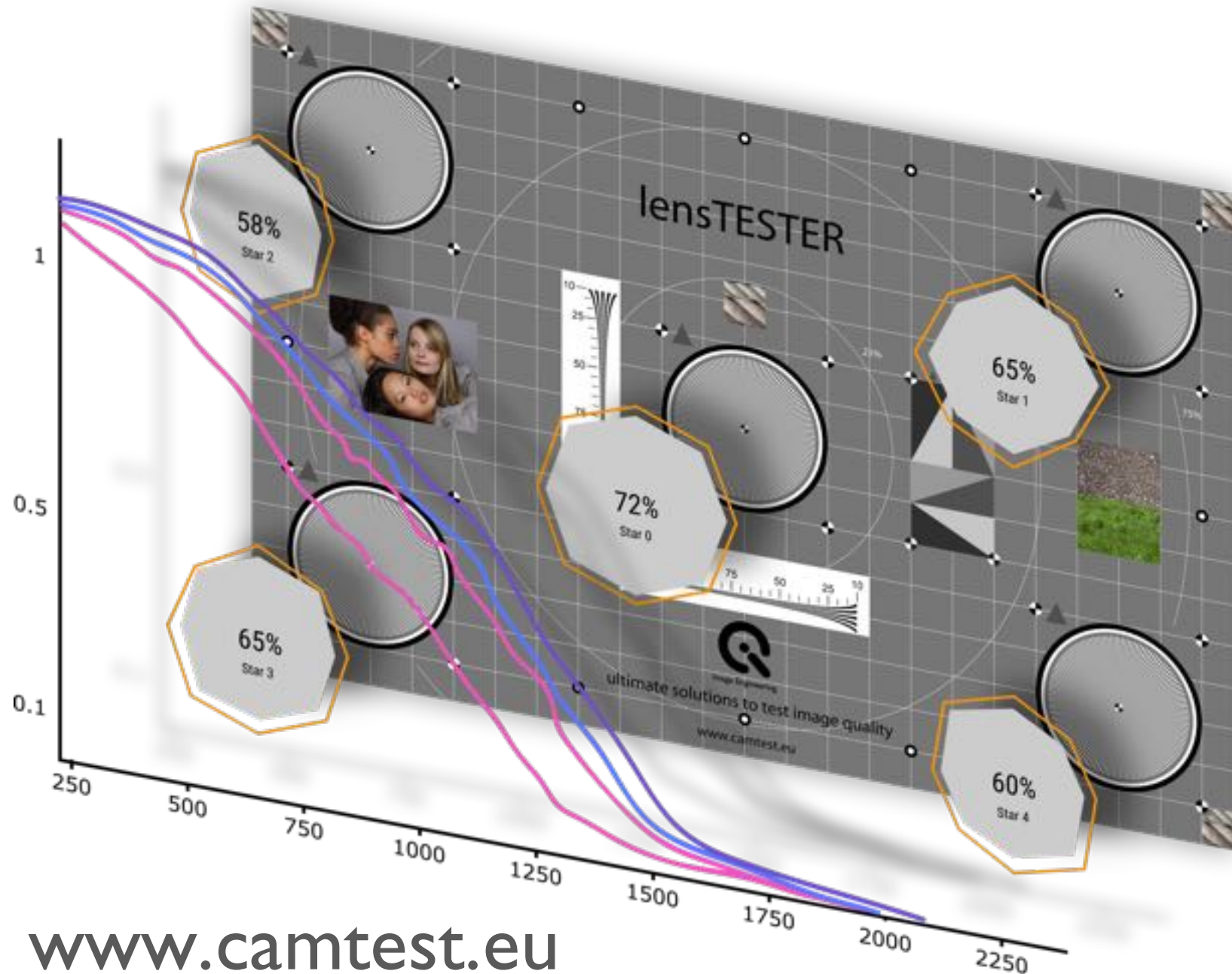
lensTESTER



[www.image-engineering.de](http://www.image-engineering.de)



lensTESTER



[www.camtest.eu](http://www.camtest.eu)

[www.image-engineering.de](http://www.image-engineering.de)

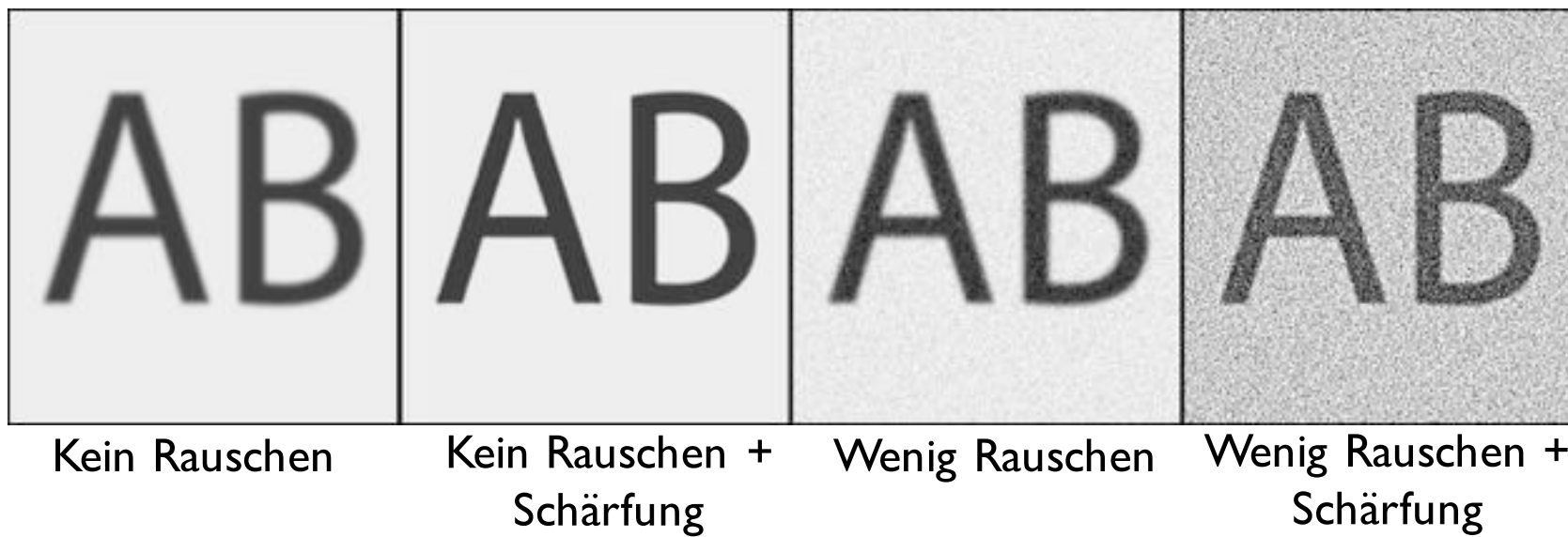


www.camtest.eu





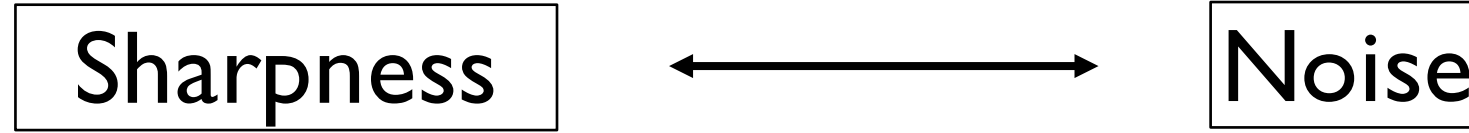
## Sharpness vs. Noise vs. Texture loss





Texture loss

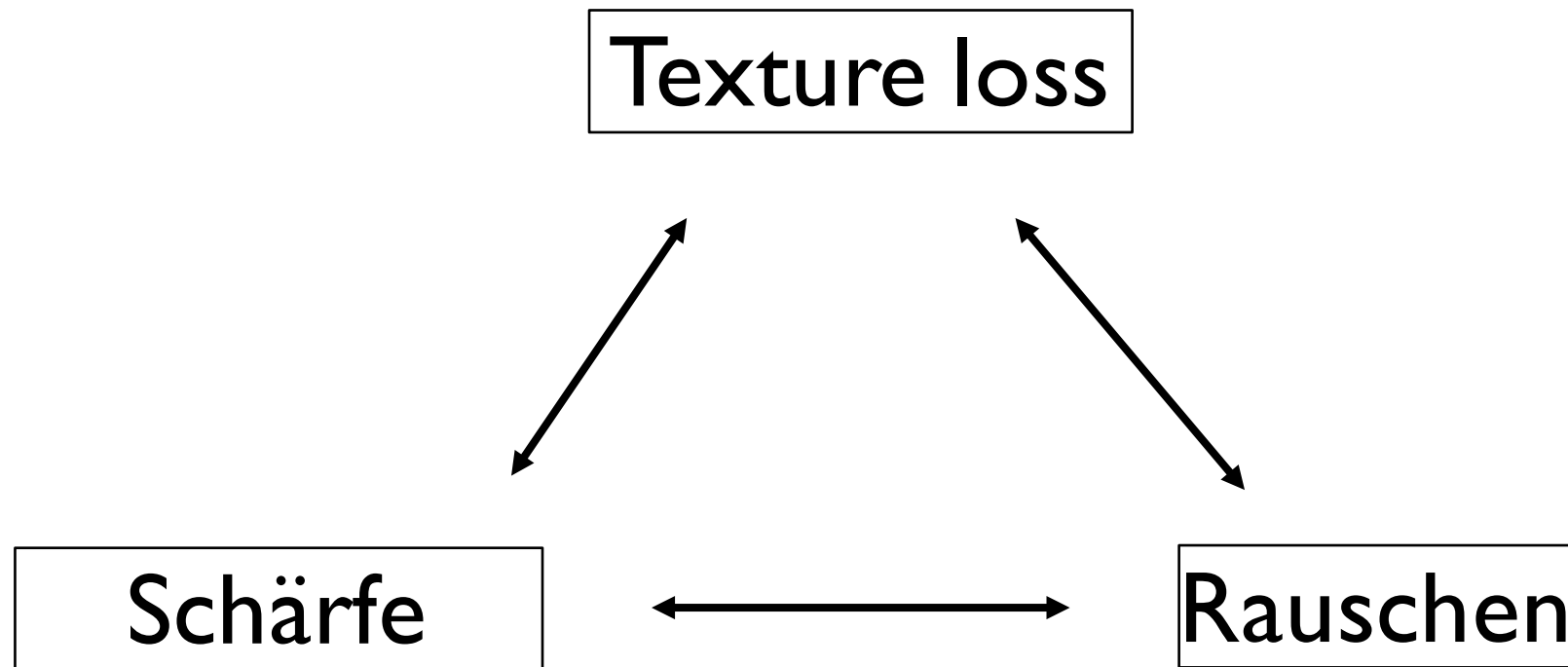
Tuning





Texture loss

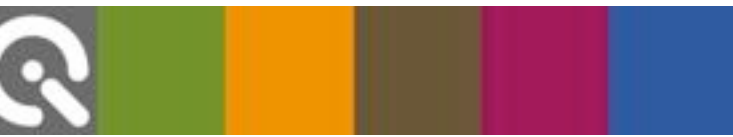
Tuning





Texture loss





Texture loss





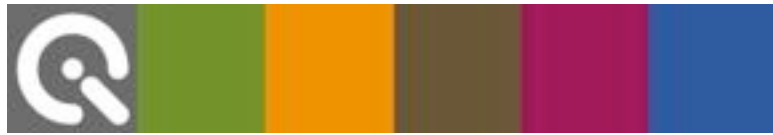
Texture loss

**Phone I**

D50 / 63lux

higher noise  
more details





Texture loss

**Phone 2**  
D50 / 63lux

low noise  
less details





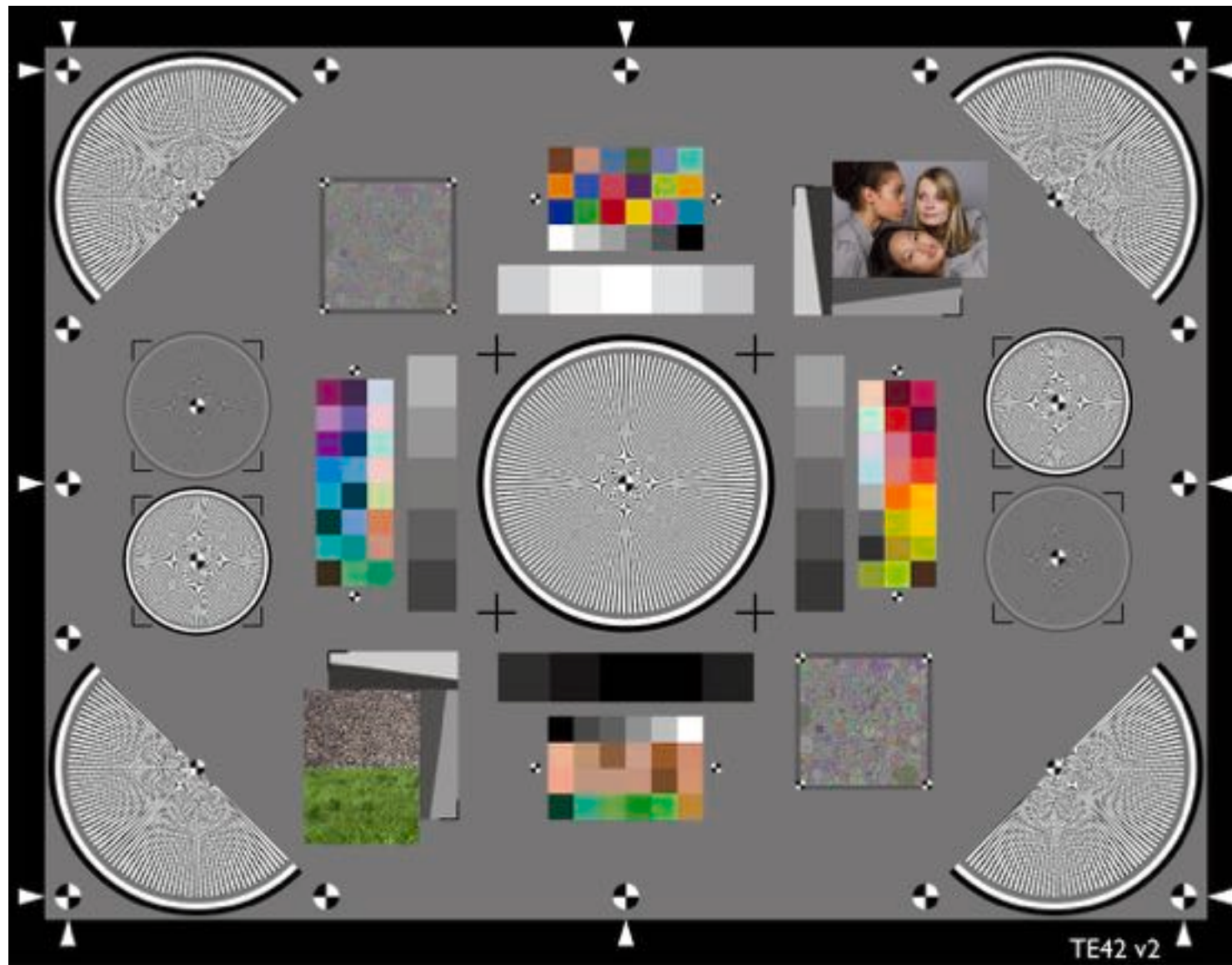
- Eine Kamera stellt ein **komplexes System** dar. Es ist wichtig nicht nur einzelne Teile zu beurteilen.



**Kürzester Bremsweg !**

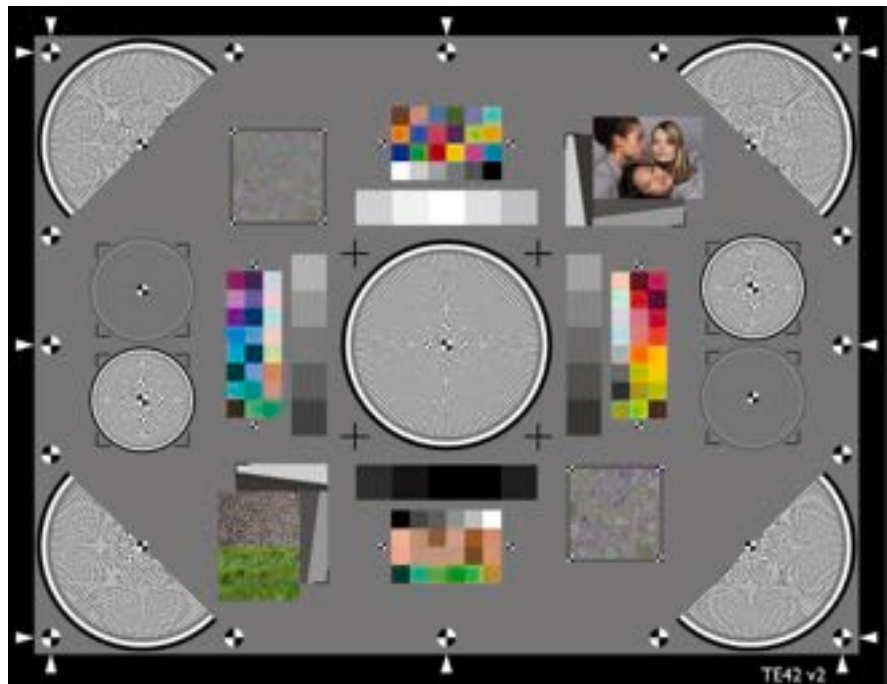


# Spatial Frequency Response

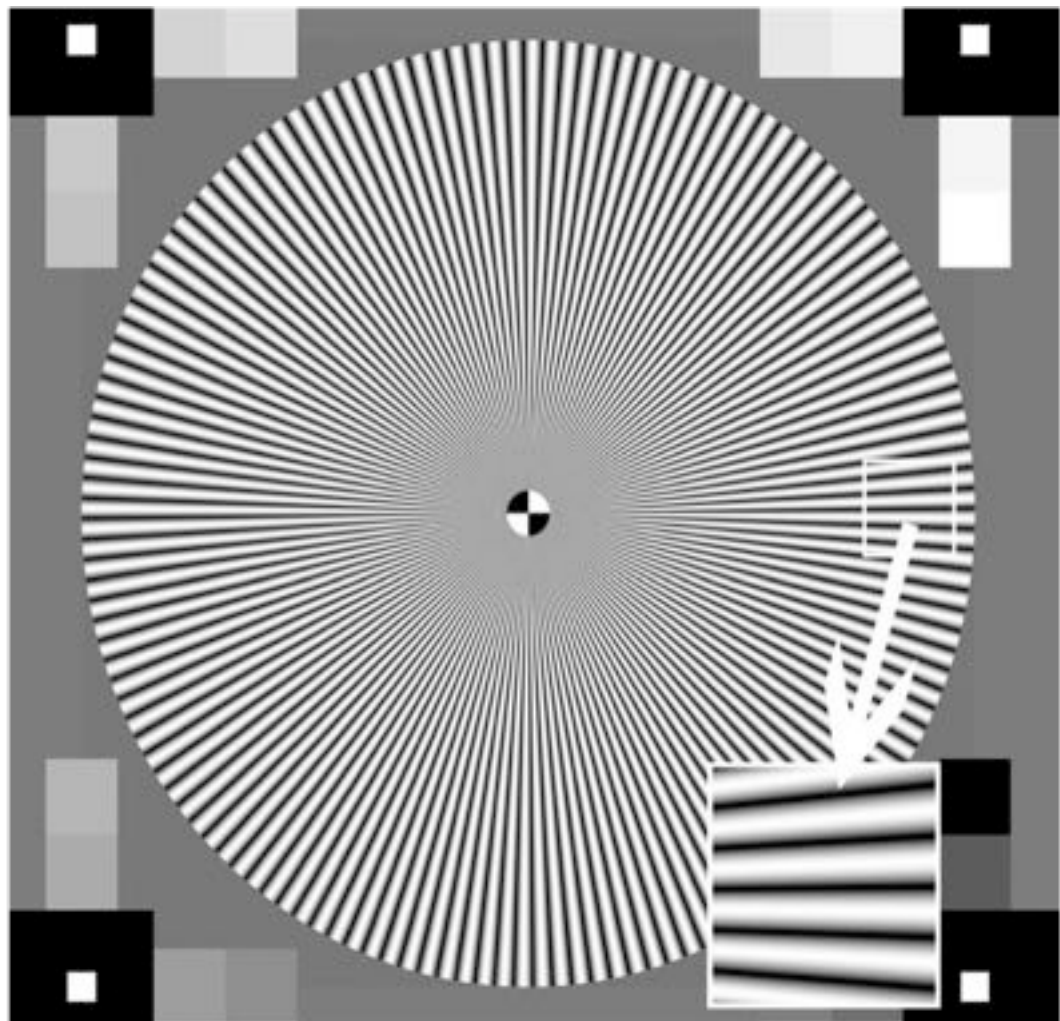




# Spatial Frequency Response

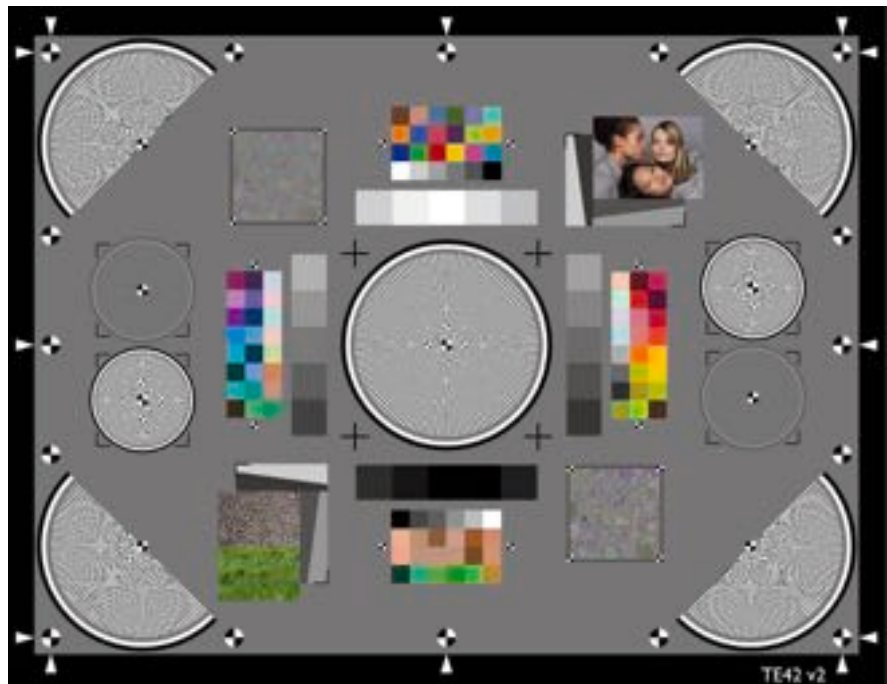


SFR-Siemens based on a sinusoidal Siemens star. It is part of the standard ISO12233:2014  
“Photography - Electronic still picture imaging - Resolution measurements”





# Spatial Frequency Response

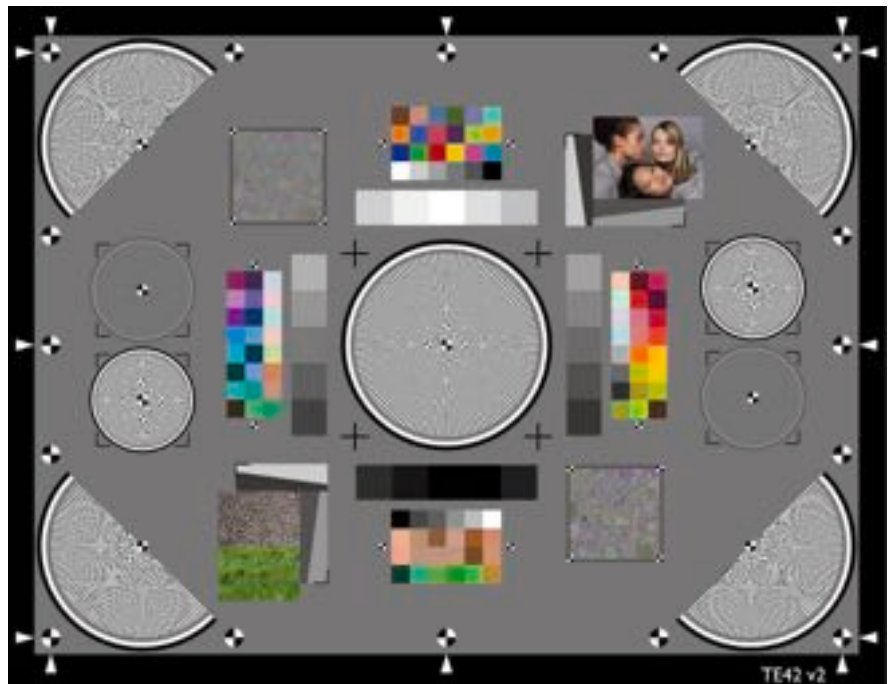


SFR-Edge measured on a 60% edge  
and a 80% edge. It is part of the  
standard ISO12233:2014  
“Photography - Electronic still picture  
imaging - Resolution measurements”

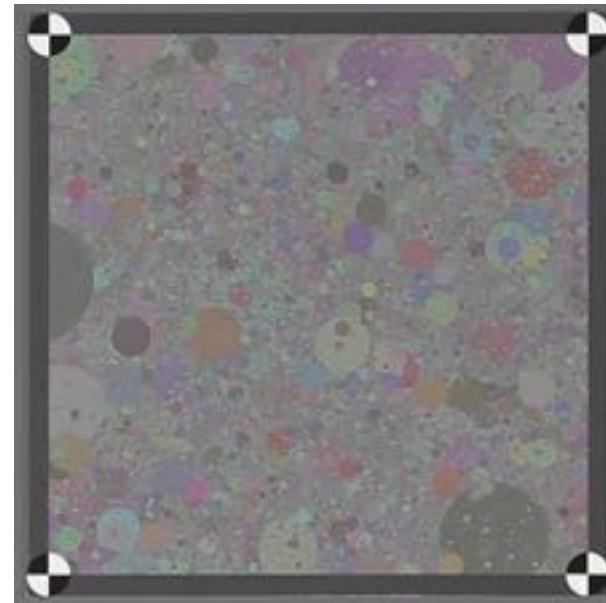


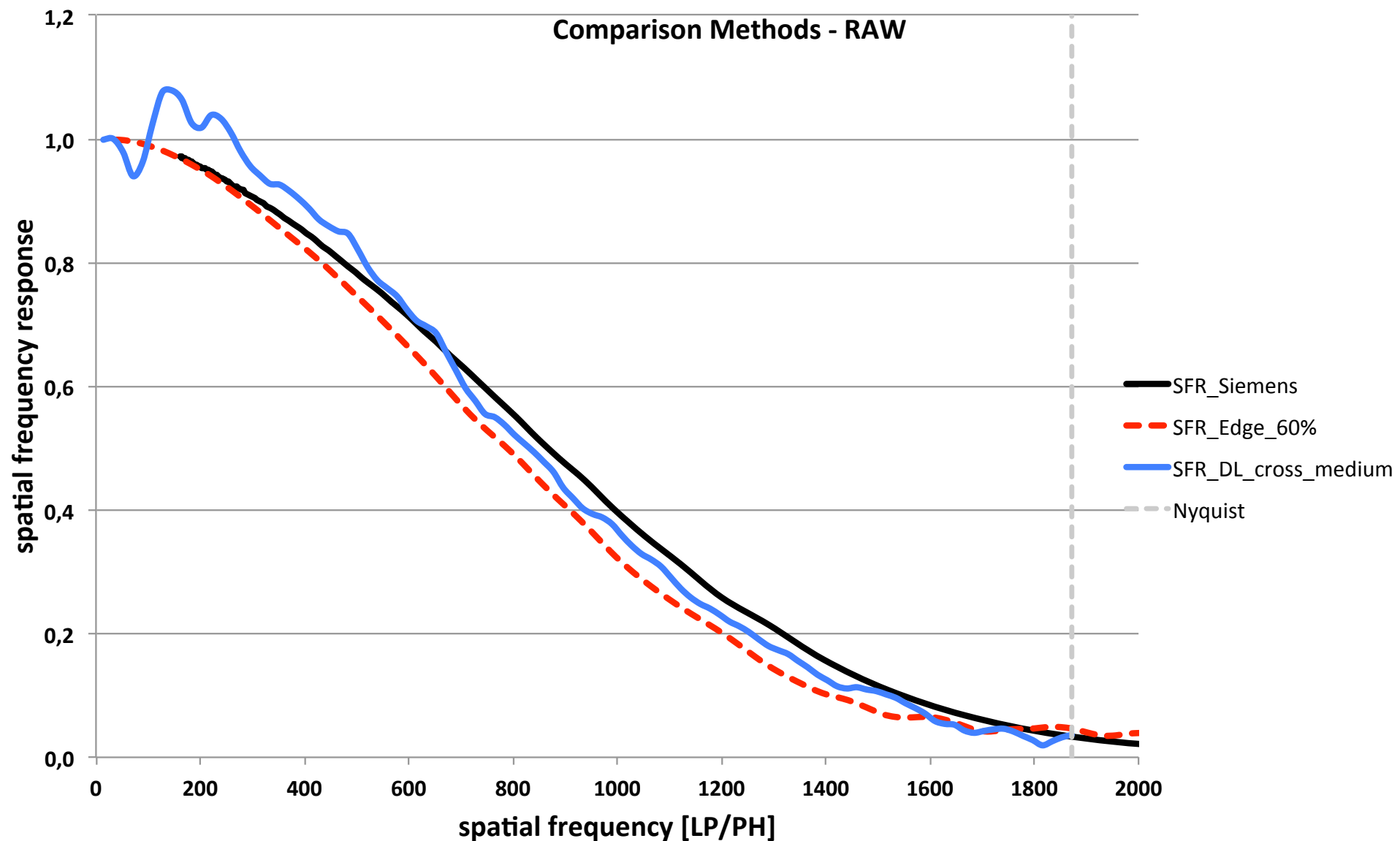


# Spatial Frequency Response



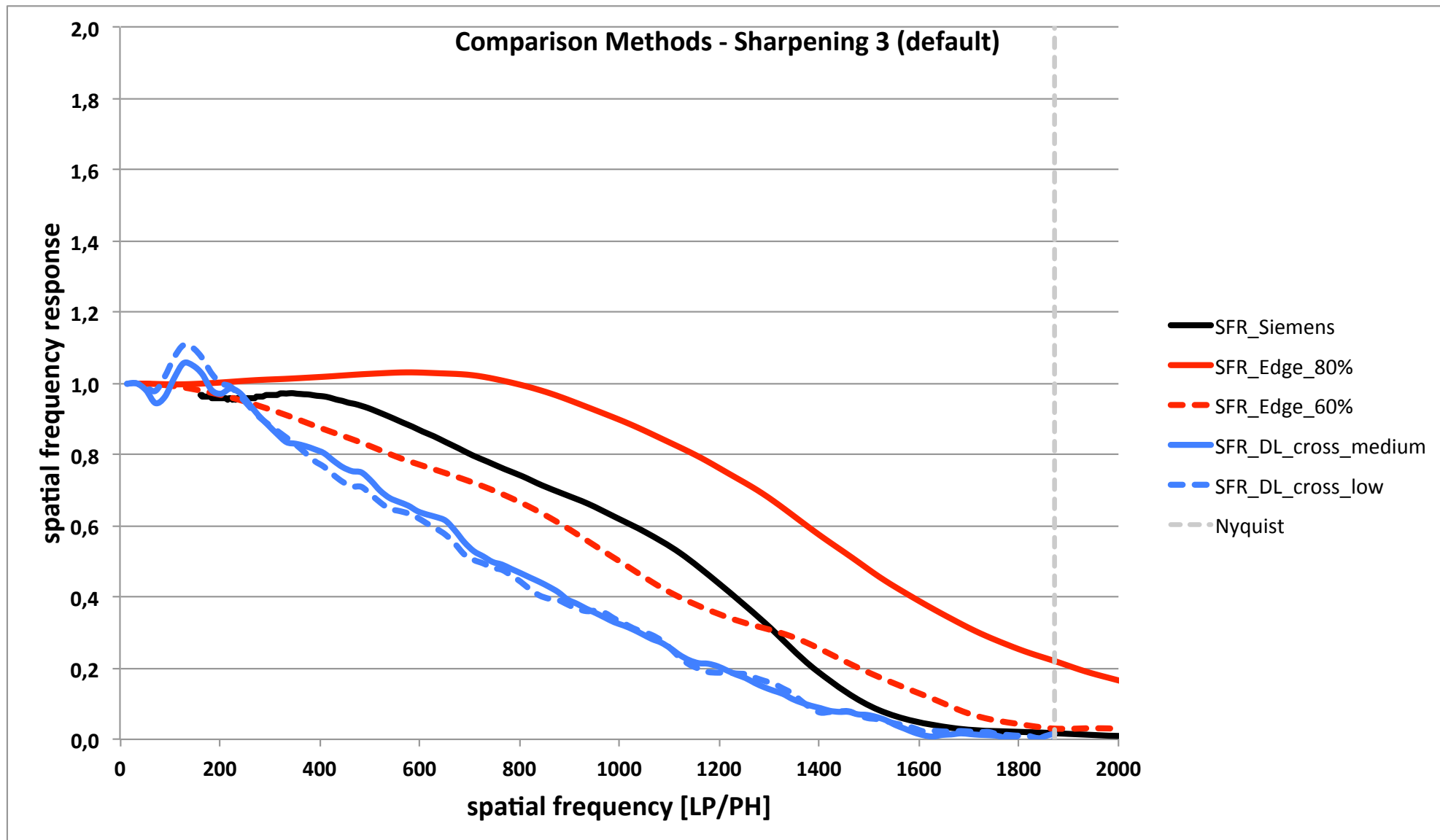
Dead Leaves pattern in two contrast ratios. “low” and “medium”





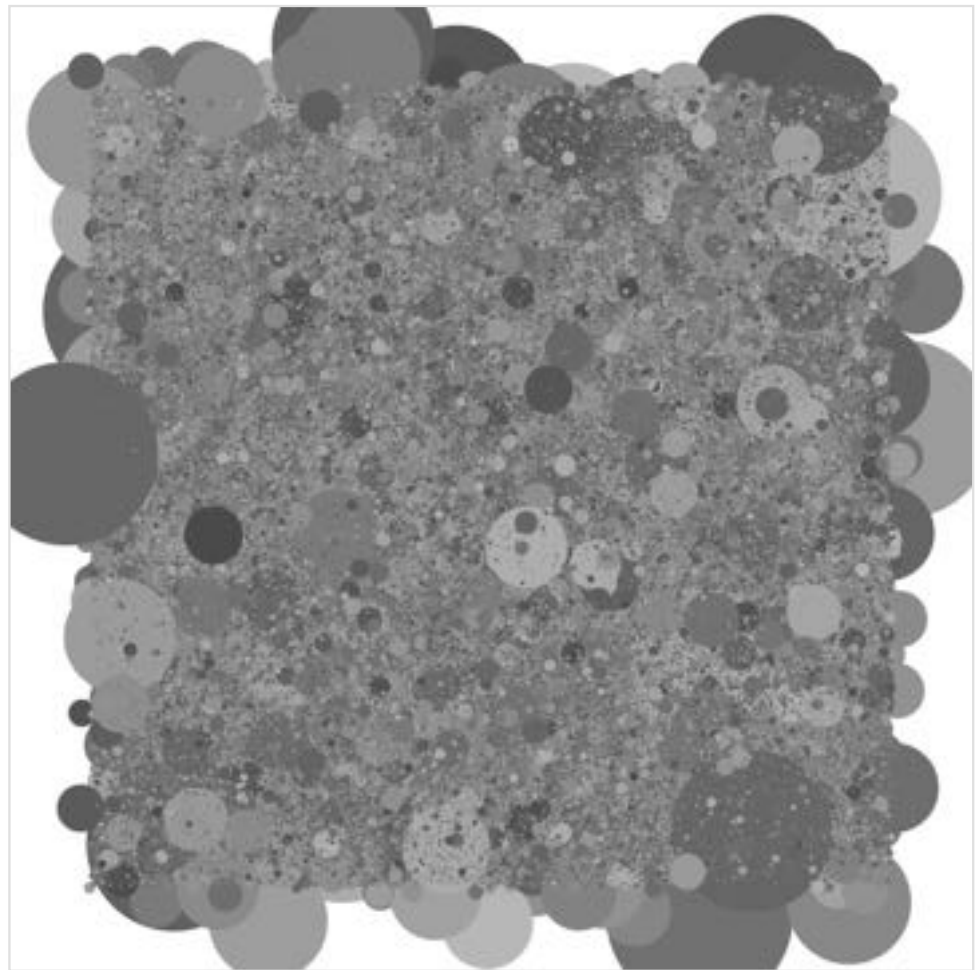


# SFR - Sharpening

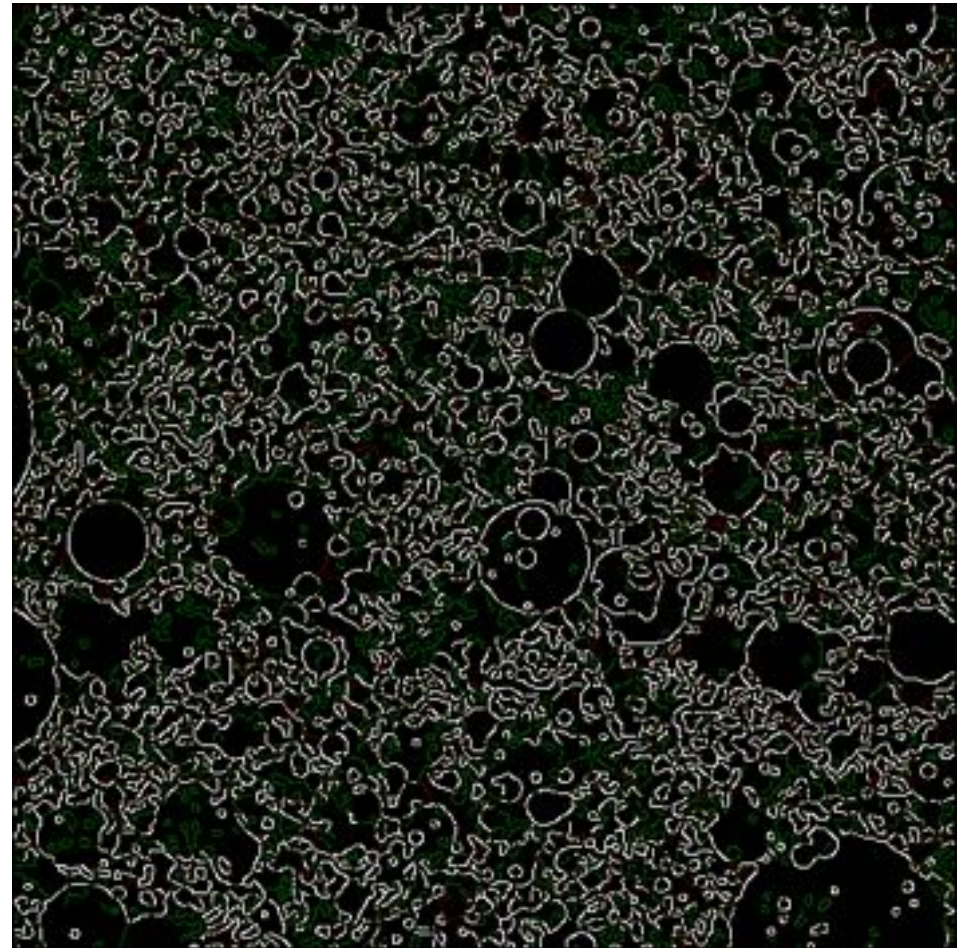
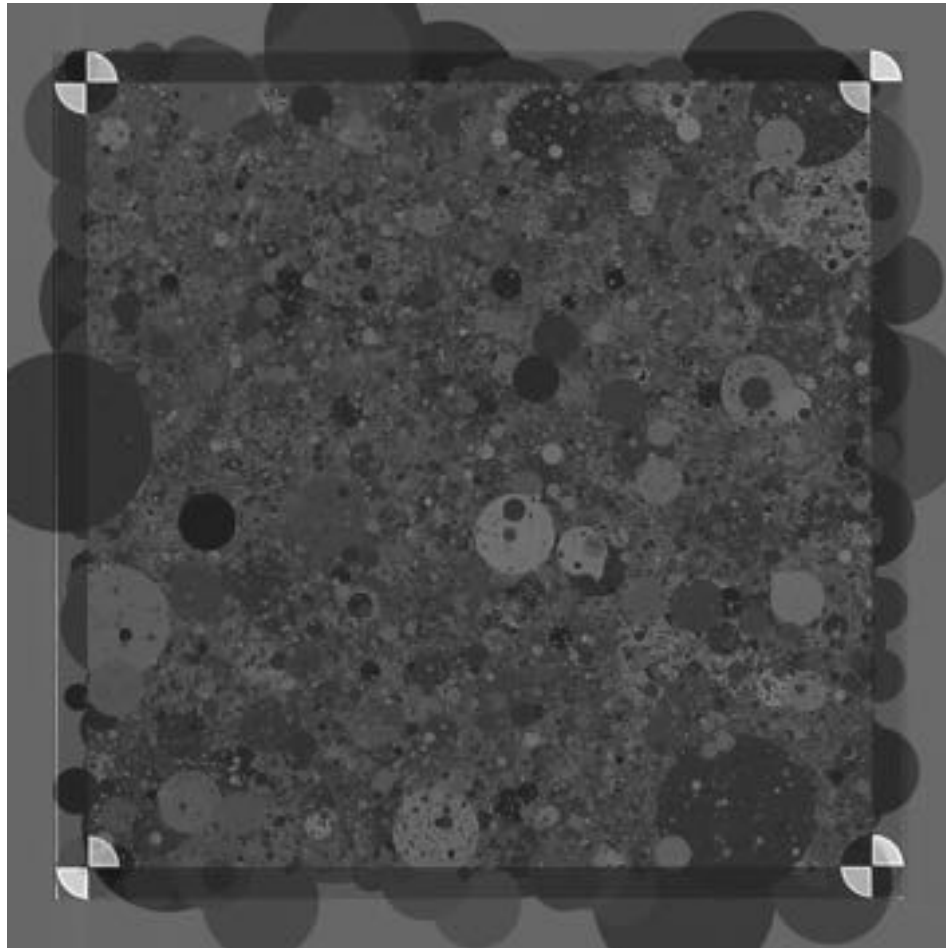




Let the pattern cover only a small part of the image to reduce the influence of distortion.



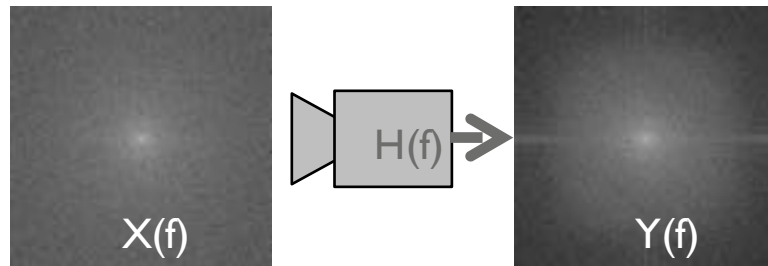
Create projection matrix from position of marker and apply to reference data.



# Spatial Matching



# Dead Leaves \_ cross

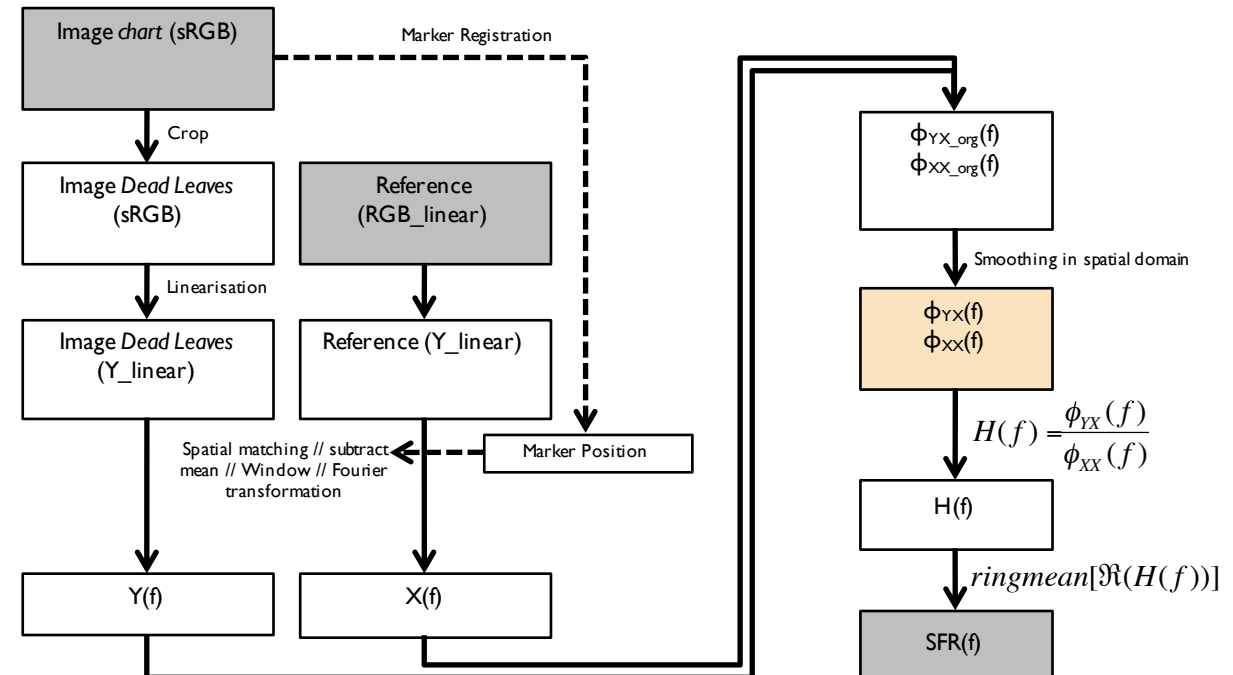


full transfer function available!

$$H(f) = \frac{\phi_{YX}(f)}{\phi_{XX}(f)}$$

$\phi_{XX}(f)$ : power spectrum of the input

$\phi_{YX}(f)$ : cross power spectrum of input and output



Based on the work of Image Engineering

“Description of texture loss using the dead leaves target: current issues and a new intrinsic approach”, Kirk, Herzer, Artmann, Kunz, Proc. SPIE 9023, Digital Photography X, 90230C (7 March 2014); doi: 10.1117/12.2039689

The only Dead Leaves approach that really describes the texture loss!



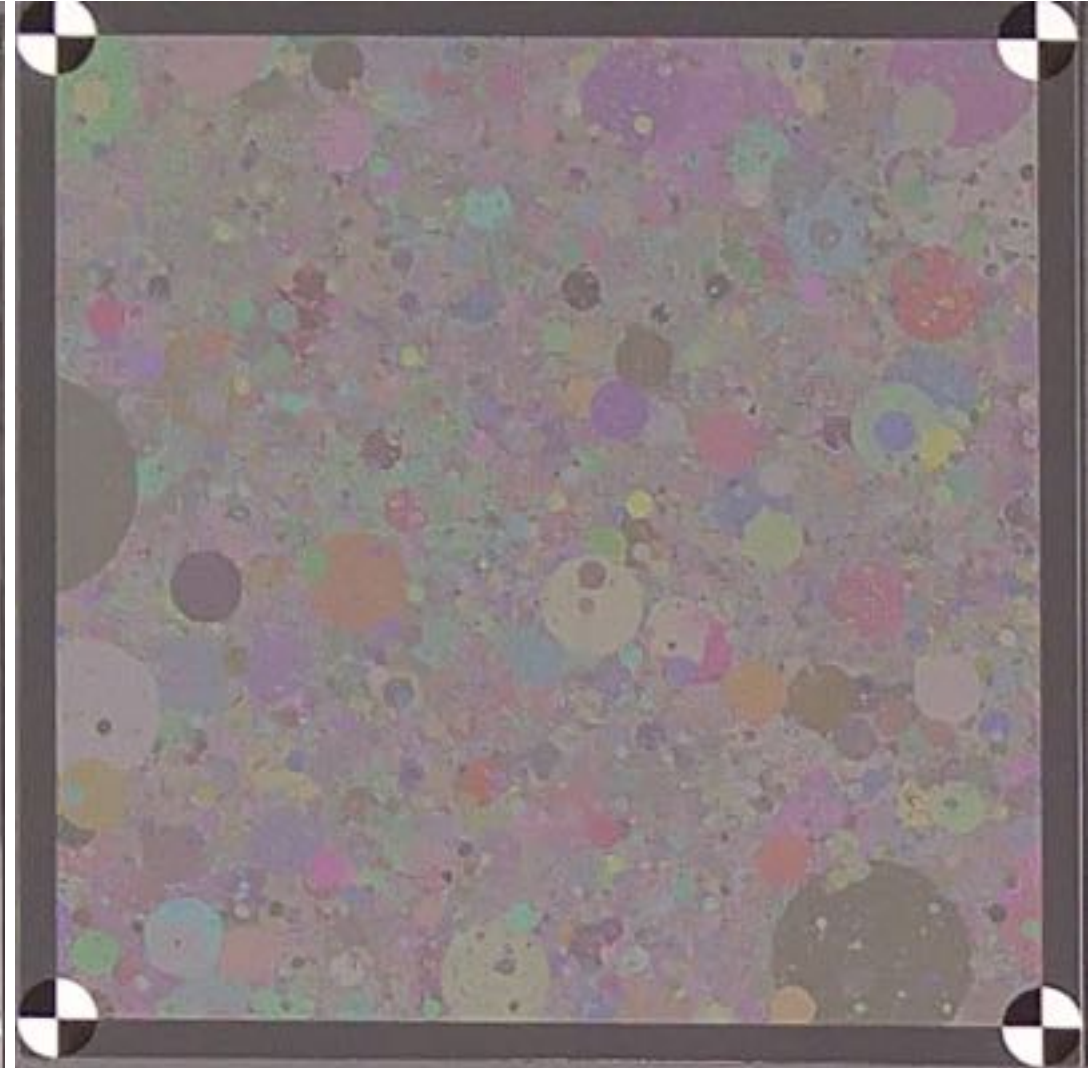
# Texture loss

The latest approach (`DeadLeaves_cross`)

“-4EV” – low contrast



“bright” – low contrast





## The latest approach (DeadLeaves\_cross)

“-4EV” – high contrast



“bright” – high contrast

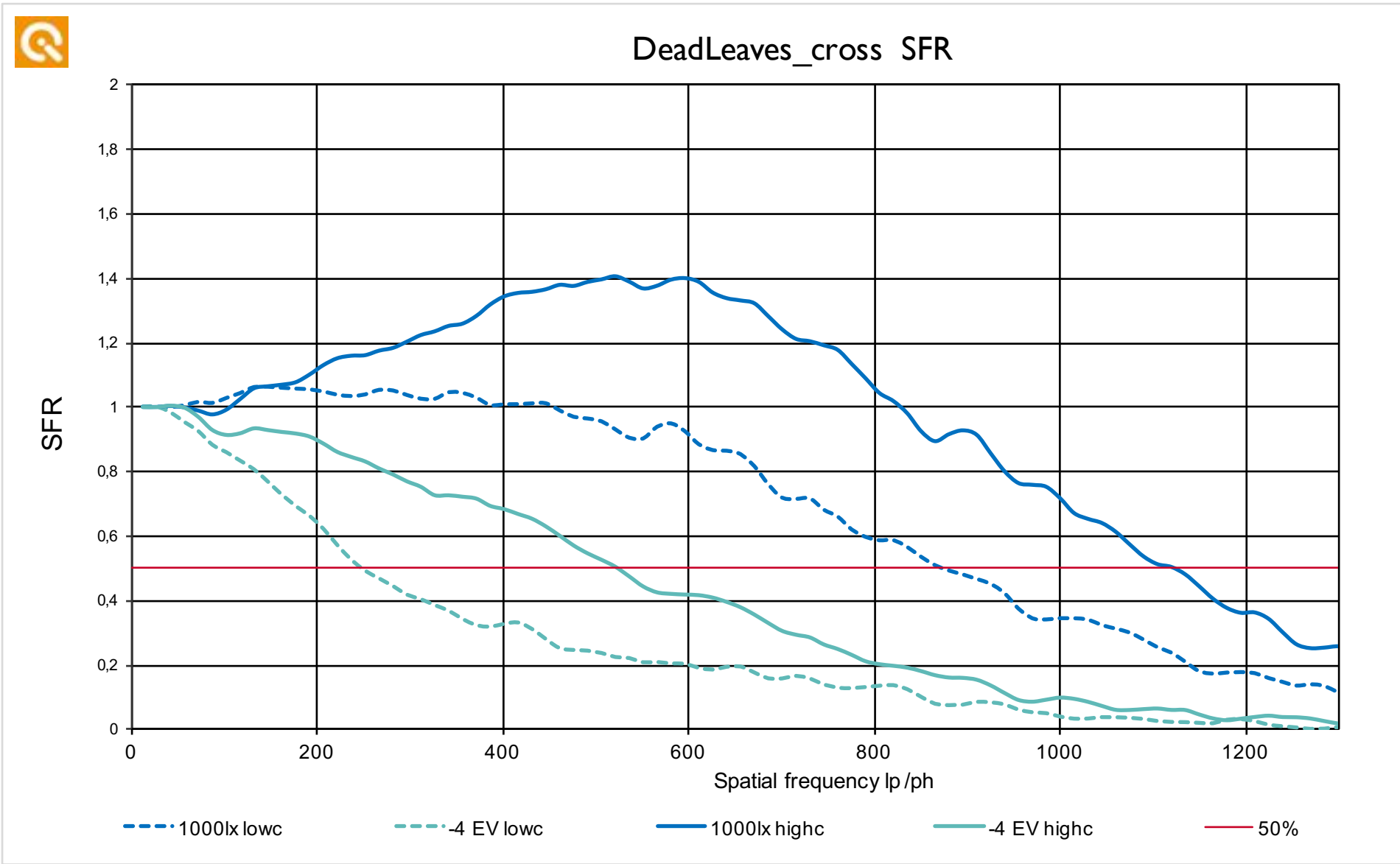


Texture loss



# Texture loss

## The latest approach (DeadLeaves\_cross)



Download

The screenshot shows the 'LIBRARY' section of the Image Engineering website. On the left, a sidebar lists document types: 'Documents', 'All', 'Conference papers' (which is selected and highlighted in grey), 'Diploma thesis', 'Technotes', 'Video tutorials', and 'White paper'. The main content area displays two conference papers:

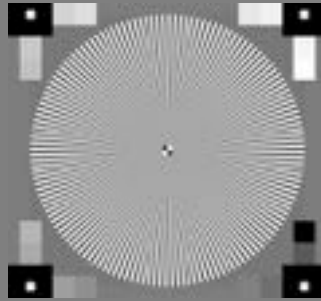
- Image quality assessment using the dead leaves target**  
Conference Papers | 13 Mar 2015  
Experience with the latest approach and further investigations. Electronic Imaging Conference 2015 - Uwe Artmann (Image Engineering)  
[READ PAPER](#)
- Description of texture loss using the dead leaves target**  
Conference Papers | 15 Mar 2014  
Current Issues and a new intrinsic approach. Electronic Imaging Conference 2014 - Leonie Kirk, Philip Herzer, Uwe Artmann (Image Engineering) and Dietmar Kunz (Cologne University of Applied Sciences)  
[READ PAPER](#)

<http://www.image-engineering.de/library/conference-papers>

www.image-engineering.de

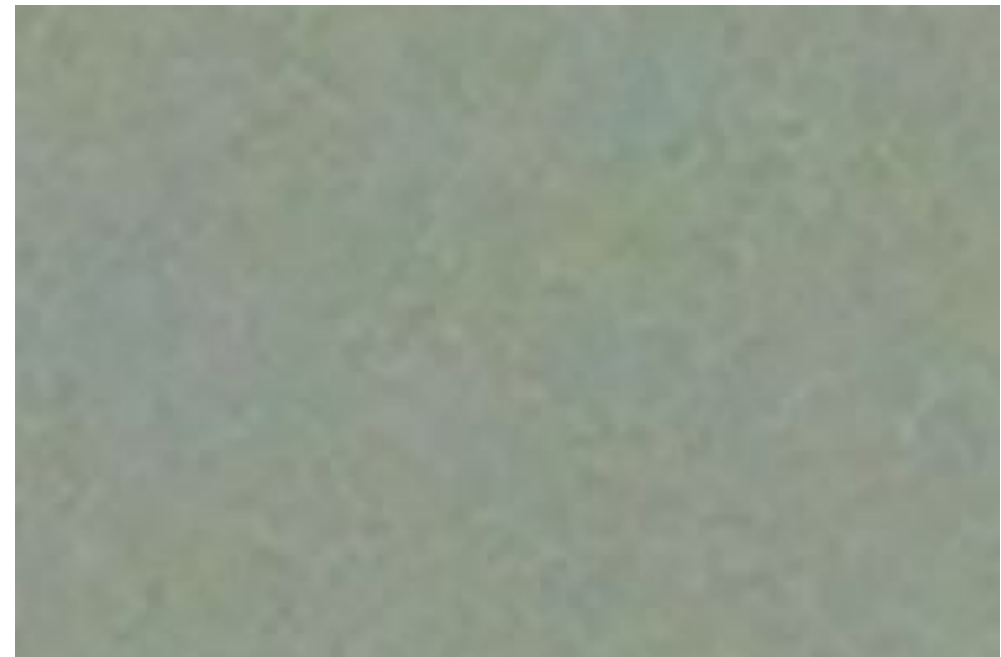
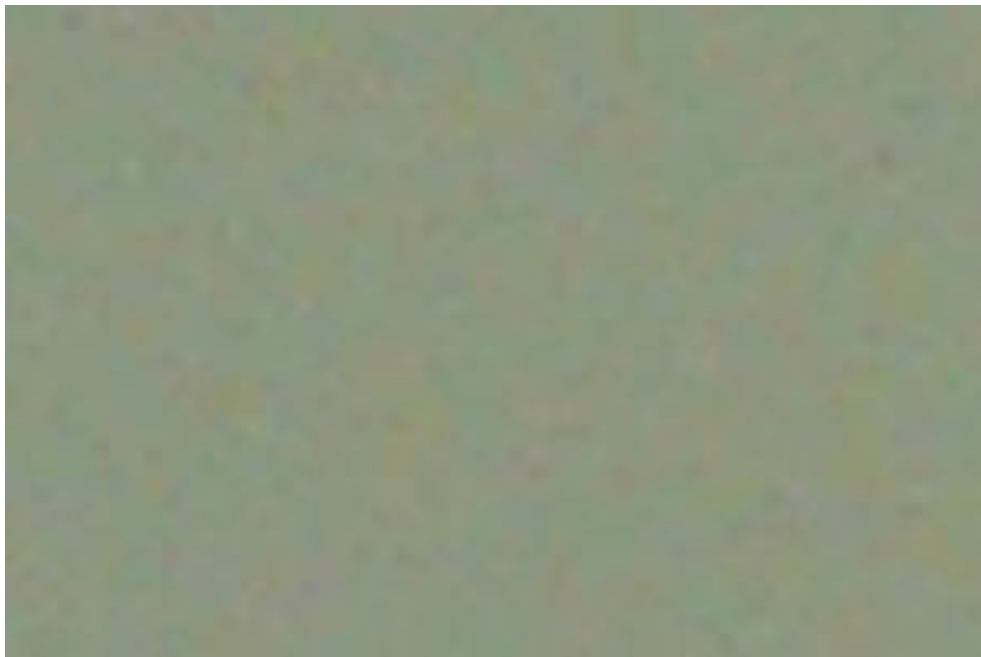


# Comparison

	<b>Sinusoidal Siemens star</b> 	<b>Slanted edge</b> 	<b>Dead Leaves</b> 
<b>Advantages</b>	<ul style="list-style-type: none"><li>• Reliable measurement of limiting resolution</li><li>• Robust</li><li>• Visual interpretation</li></ul>	<ul style="list-style-type: none"><li>• Fast</li><li>• Easy way to measure sharpening</li></ul>	<ul style="list-style-type: none"><li>• Random pattern triggers “Texture loss”</li><li>• More “natural” than other structures</li></ul>
<b>Utilization</b>	Assessment of optical performance of devices	Assessment of signal processing of a device	Assessment of texture loss of a device



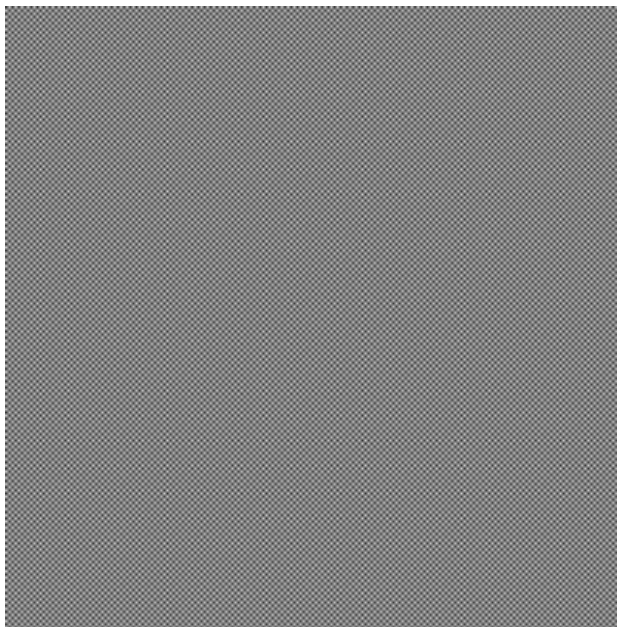
Aus der allgemeinen Messtechnik übernommen, wurde das Rauschen lange als „Signal-Rauschabstand“ (SNR) angegeben. Das Problem: Dies korreliert nicht mit der Rauschwahrnehmung



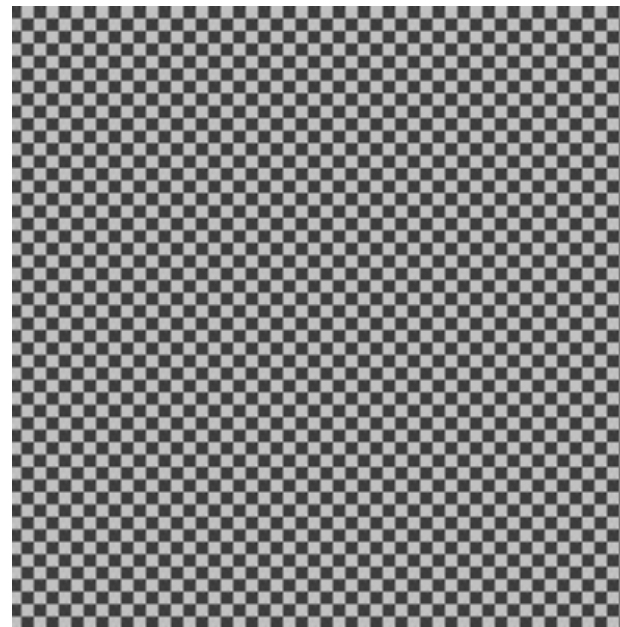
Unterschiedliche Rauschwahrnehmung – gleicher SNR



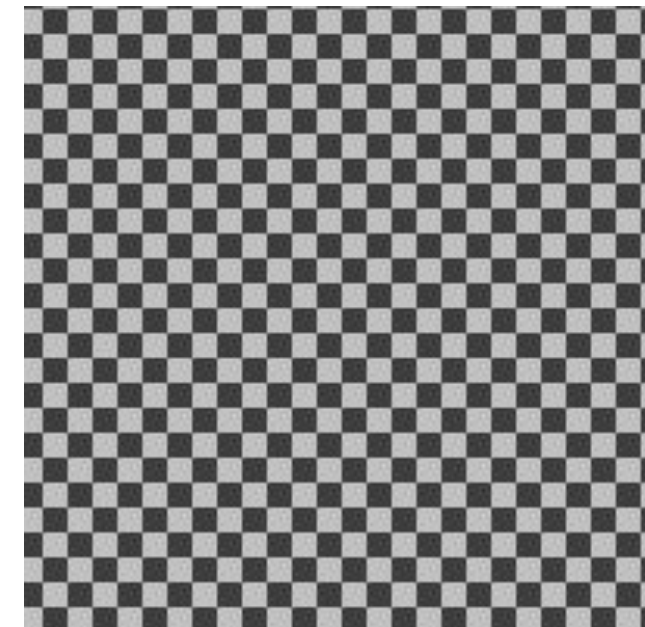
Aus der allgemeinen Messtechnik übernommen, wurde das Rauschen lange als „Signal-Rauschabstand“ (SNR) angegeben. Das Problem: Dies korreliert nicht mit der Rauschwahrnehmung



$$\begin{aligned}\mu &= 128 \\ \sigma &= 64\end{aligned}$$

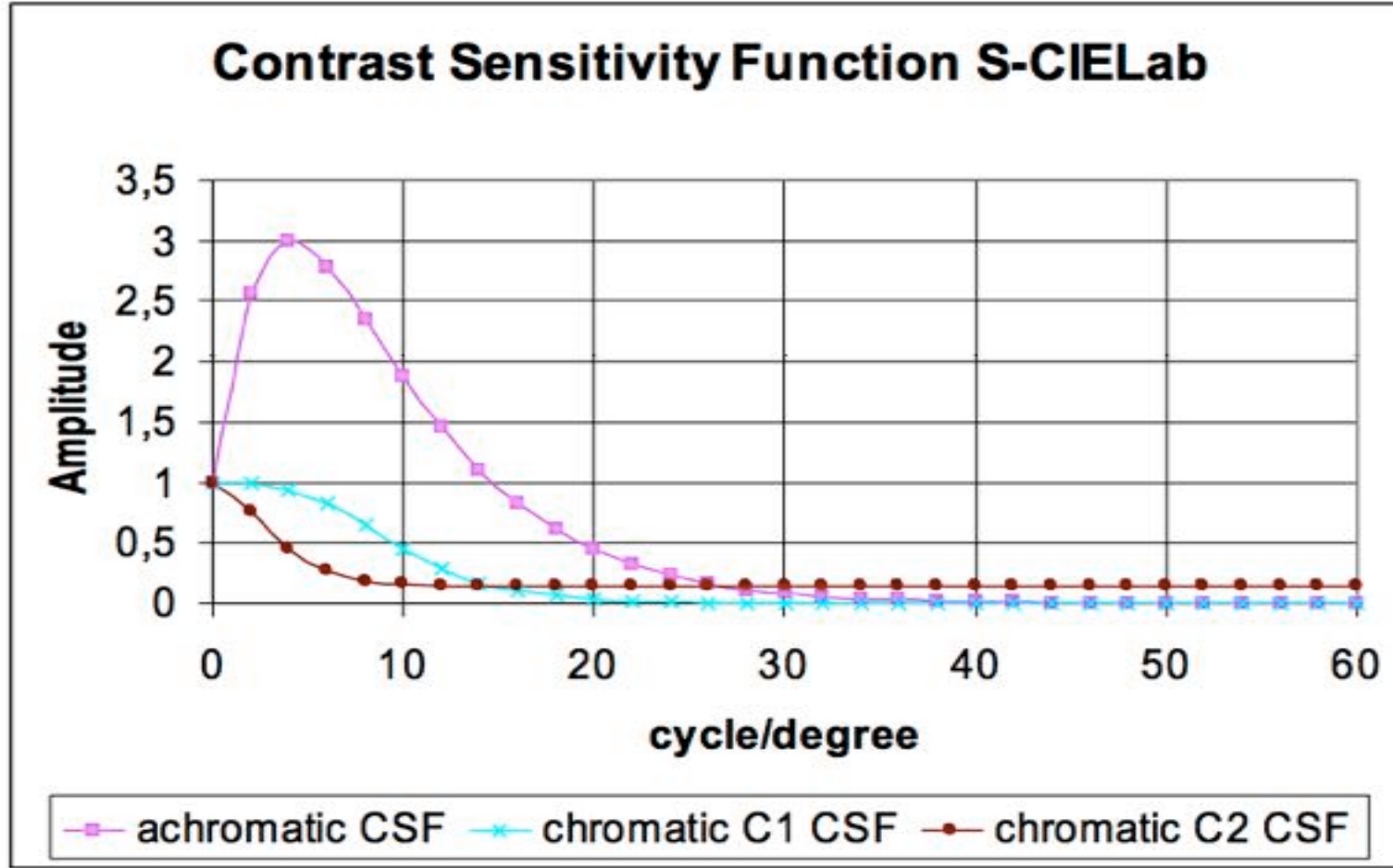


$$\begin{aligned}\mu &= 128 \\ \sigma &= 64\end{aligned}$$



$$\begin{aligned}\mu &= 128 \\ \sigma &= 64\end{aligned}$$

Unterschiedliche Rauschwahrnehmung – gleicher SNR



A  $C_1C_2$  – opponent space – a color space based on analysis of color receptors of human eye and of processing the resulting color signals

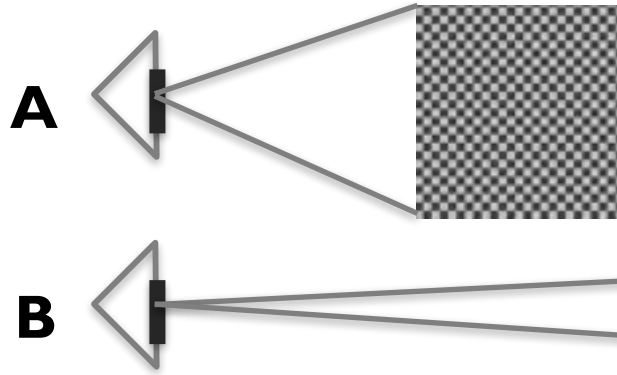
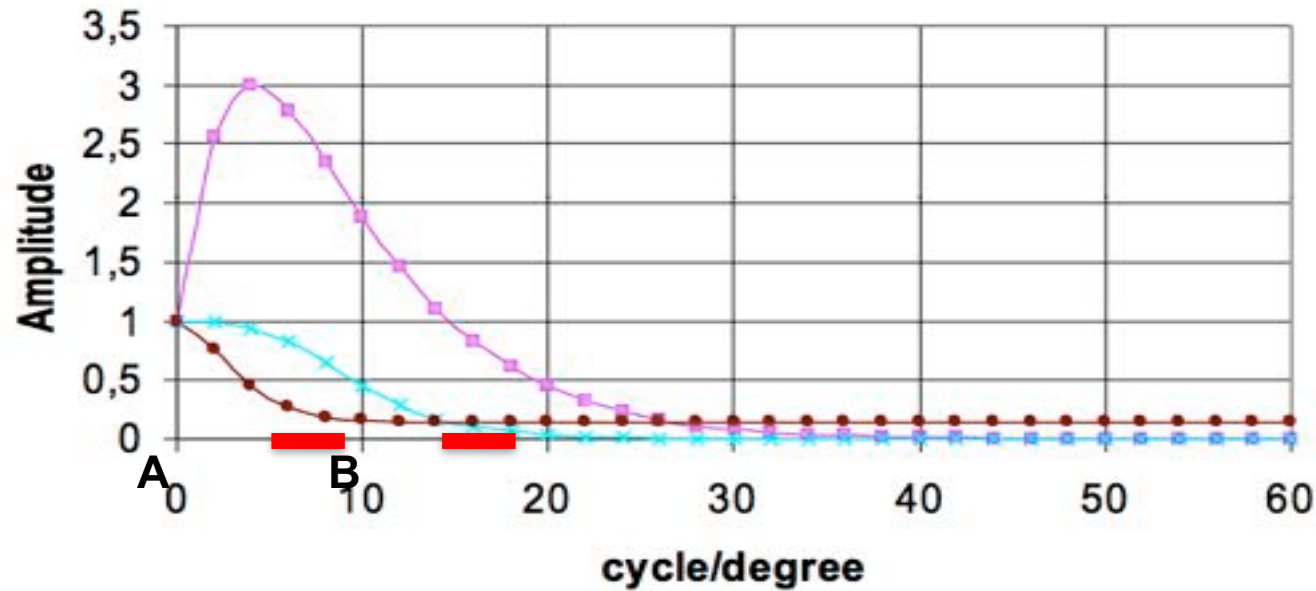
A – achromatic information  
 $C_{1\&2}$  – color information

– only intensity, no color  
– only color, no intensity

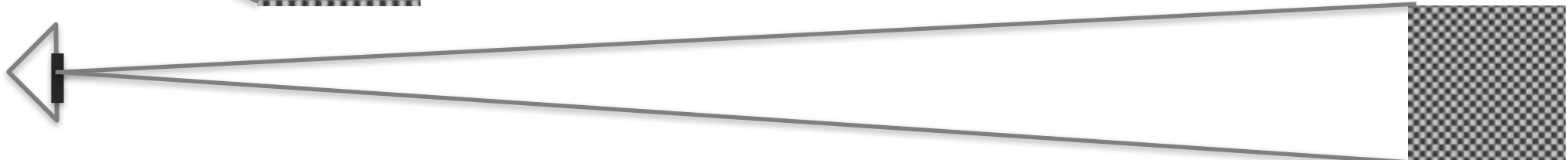


Die Rausch-wahrnehmung hängt von der Betrachtungsbedingung ab !

## Contrast Sensitivity Function S-CIELab

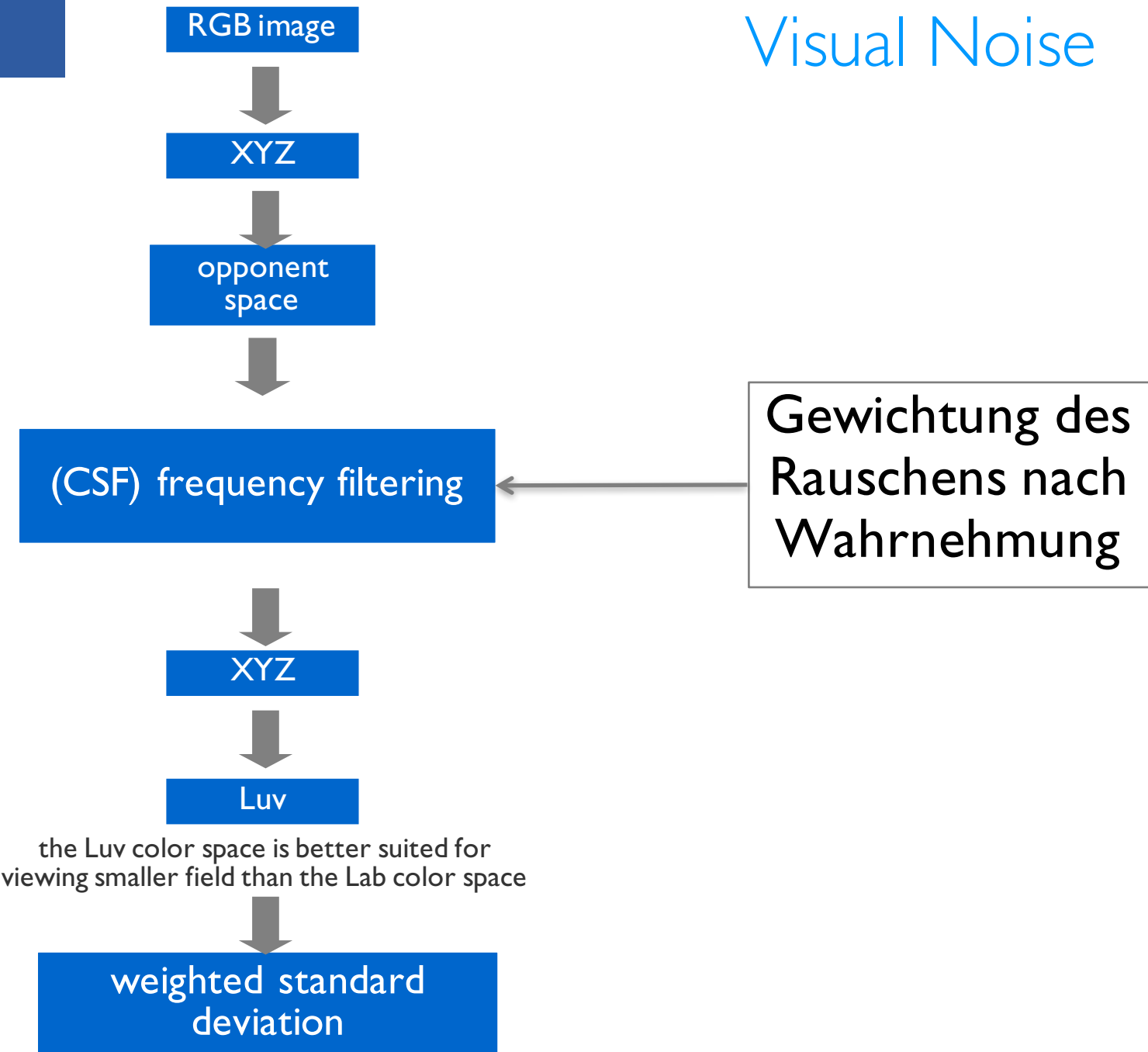


**A** – low cycle / degree – more noise visible  
**B** – higher cycle / degree – less noise visible





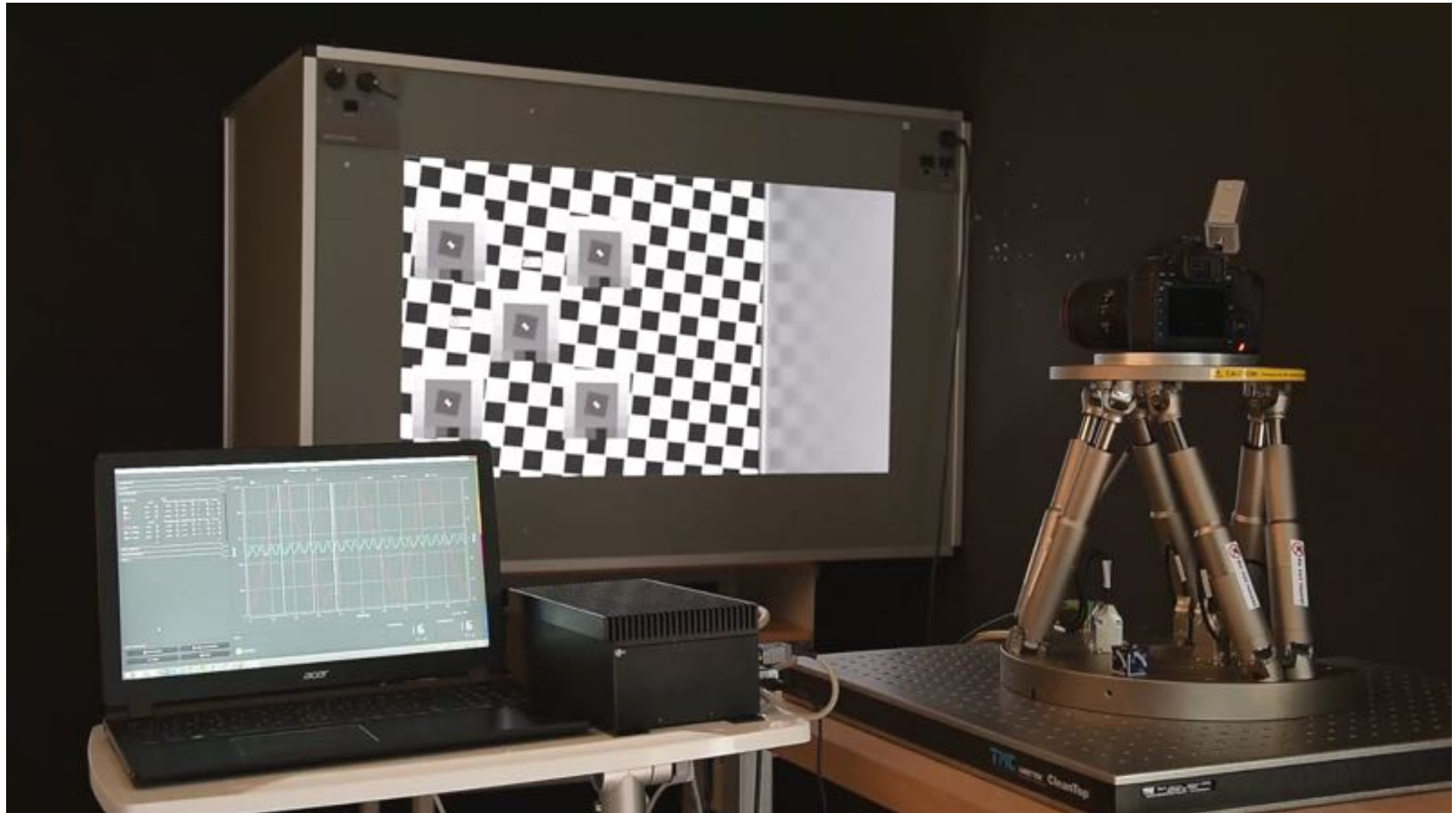
# Visual Noise



in the Luv the standard deviation is calculated for every patch and weighted with the aid of the formula:  $1.000L + 0.8520u + 0.3230v$



# Optische Bildstabilisierung

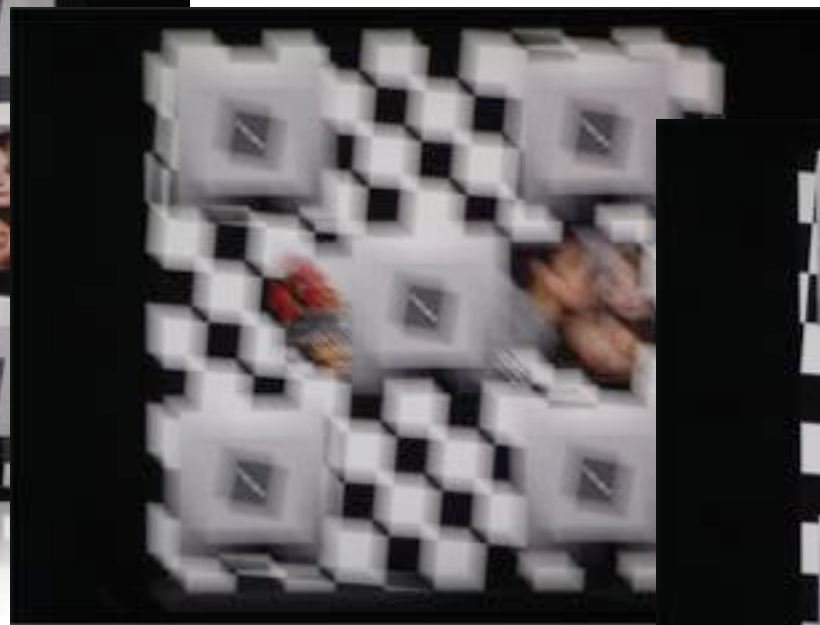




# Optische Bildstabilisierung



STEVE OFF  
image stabilization OFF



STEVE ON  
image stabilization OFF

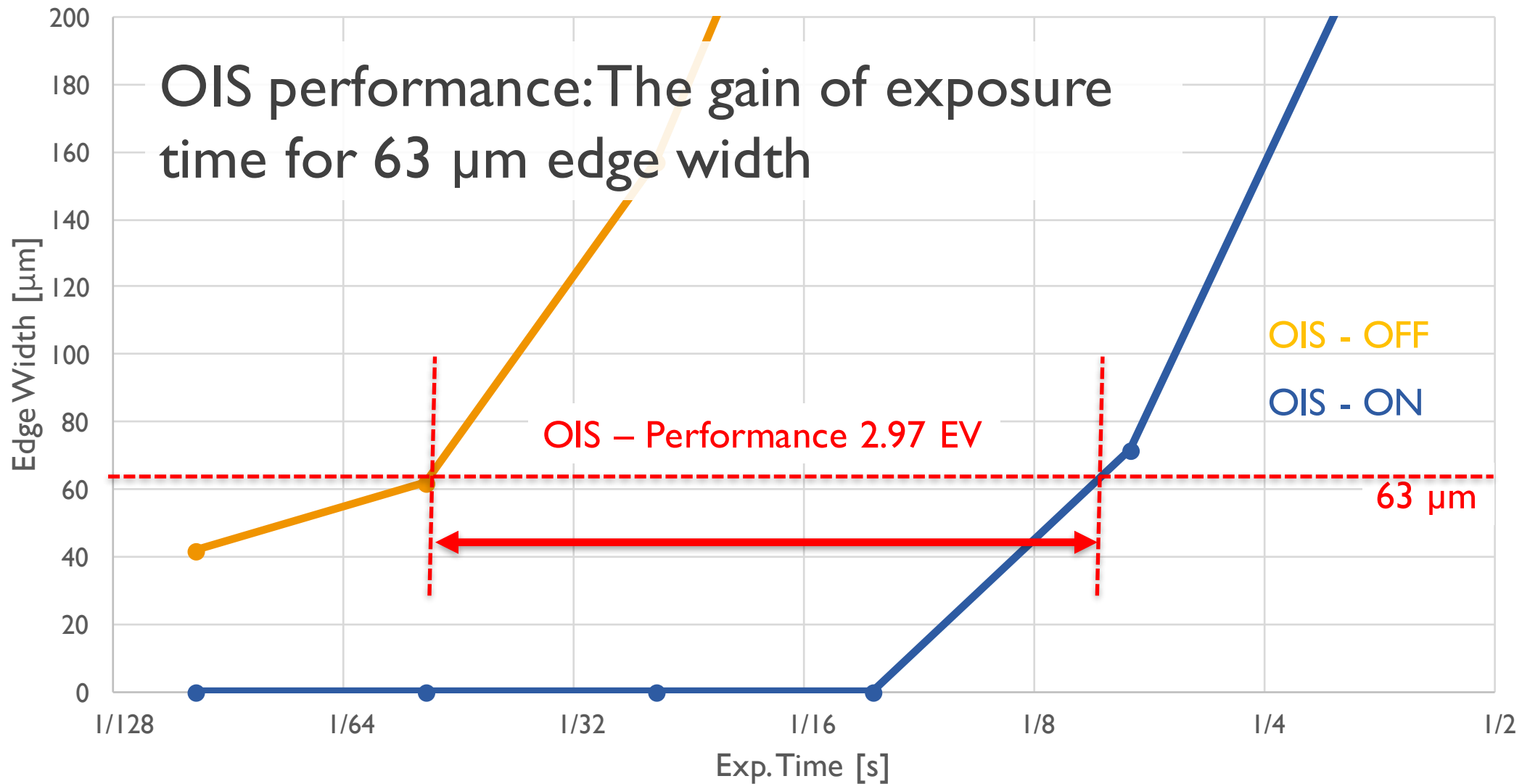


STEVE ON  
image stabilization ON



# Optische Bildstabilisierung

CIPA DC-X011 – SONY NEX-7 - E 50mm F1,8 OSS





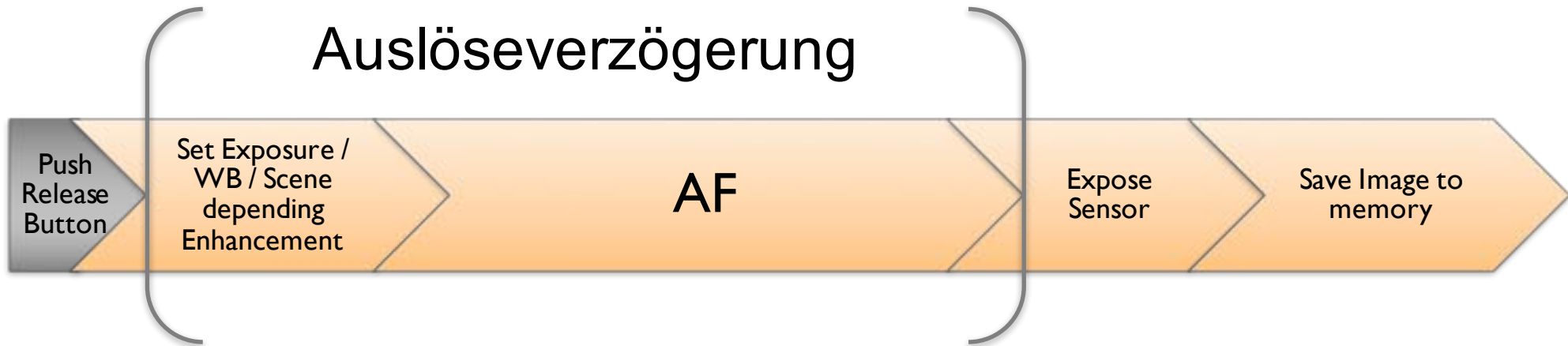
# Auslöseverzögerung



Definition: Die Zeit die zwischen dem Druck auf den Auslöser und dem beginn der Belichtung.



# Auslöseverzögerung



Definition: Die Zeit die zwischen dem Druck auf den Auslöser und dem beginn der Belichtung.



# Time Measurement - Method



ISO 15781 - Zeitenmessung

[www.image-engineering.de](http://www.image-engineering.de)

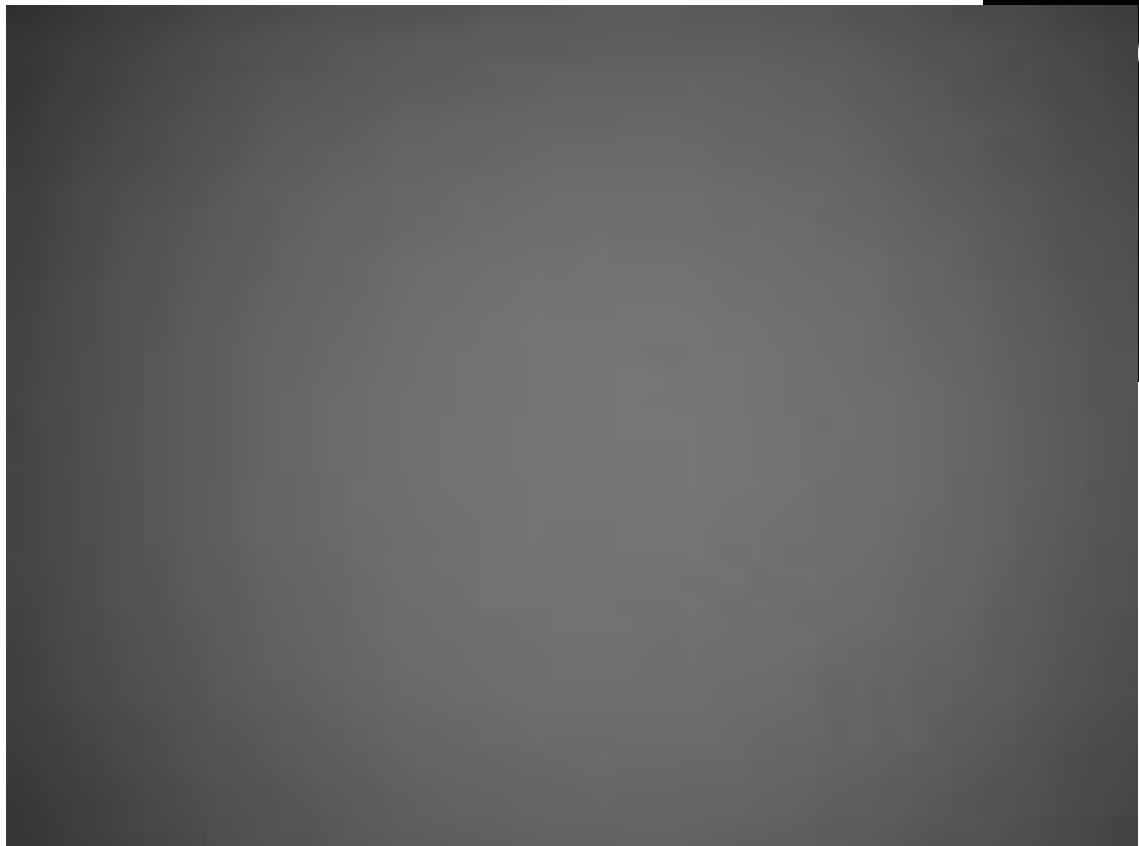


# Vignettierung





# Vignettierung

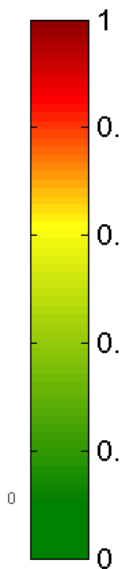
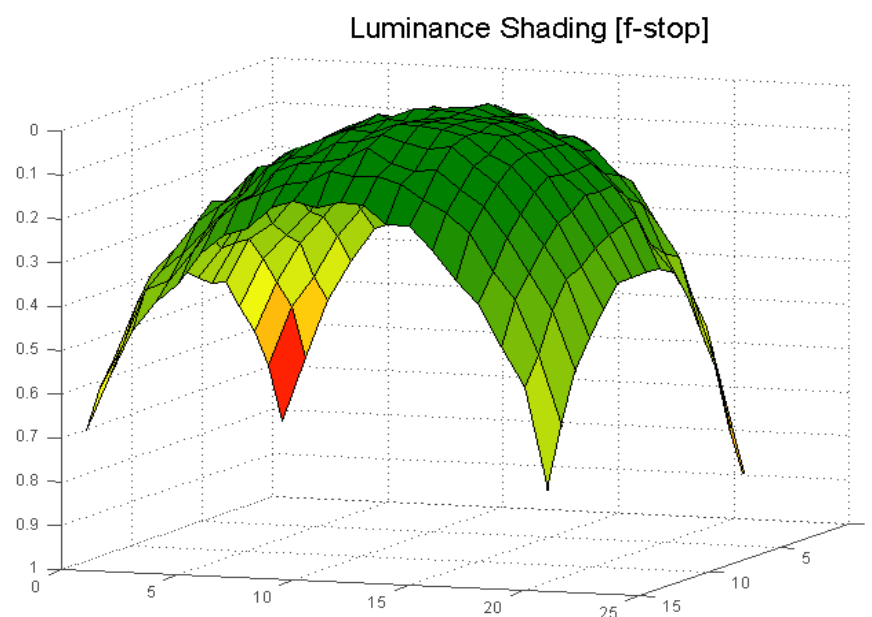


Vignettierung führt zu einem  
Randlichtabfall – die Bildecken  
sind dunkler als die Bildmitte.

Ein Problem so alt wie die  
Fotografie.

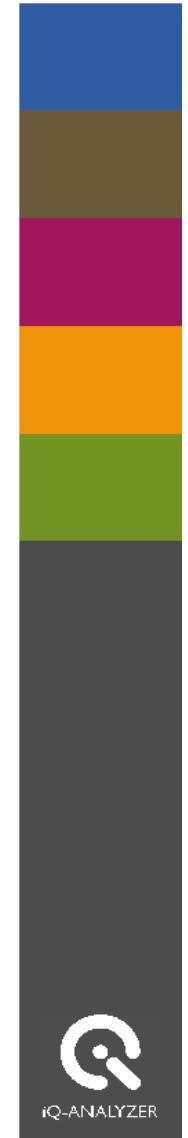


# Vignettierung



Yi\_CAL3.jpg

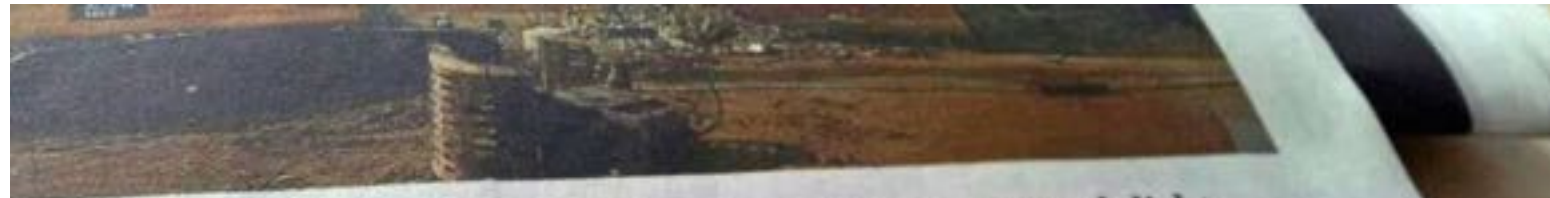
Make	XIAOYI
Model	YDXJ1
Width	4608
Height	3456
Time	480
F-Stop	2.8
ISO	171
f[mm]	2.7
EV	0.000
Serial:	
Lens:	
Firmware:	Ver.1.0.000
Illumination [lux]:	
Object Distance [m]:	
Laboratory:	
Operator:	



Luminance	0.9
Shading[f-stop]	24.7
Shading[%]	13.6
dL	-22.2/-1.2/-0.3/0.1
percentilesY[DV]	-0.54/-0.03/-0.01/0.00
percentilesY[f-stop]	
Color	
dEab	9.8
dC	8.8
dG-R[DV]	27.4
dG-B[DV]	9.1
R/G&B/G	1.04/0.83
Noise	
dSNR[dB]	9.1
dVNSet1	2.0
dVNSet2	1.7
dVNSet3	1.8



iQ-ANALYZER



## Wäckgutabfertigung wird abgerissen - Tunnel dicht

aus den 1920er Jahren stammende Wäckgutabfertigung an der Bahnhofseite wird seit Montag abgerissen. Das Gebäude soll laut Bahn bis Ende Juni

verschwunden sein. Bis dahin bleibt wegen der Arbeiten auch der Ostausgang des Haupttunnels gesperrt.

Foto: Matthias Kühn

## Eichhörnchen greifen an

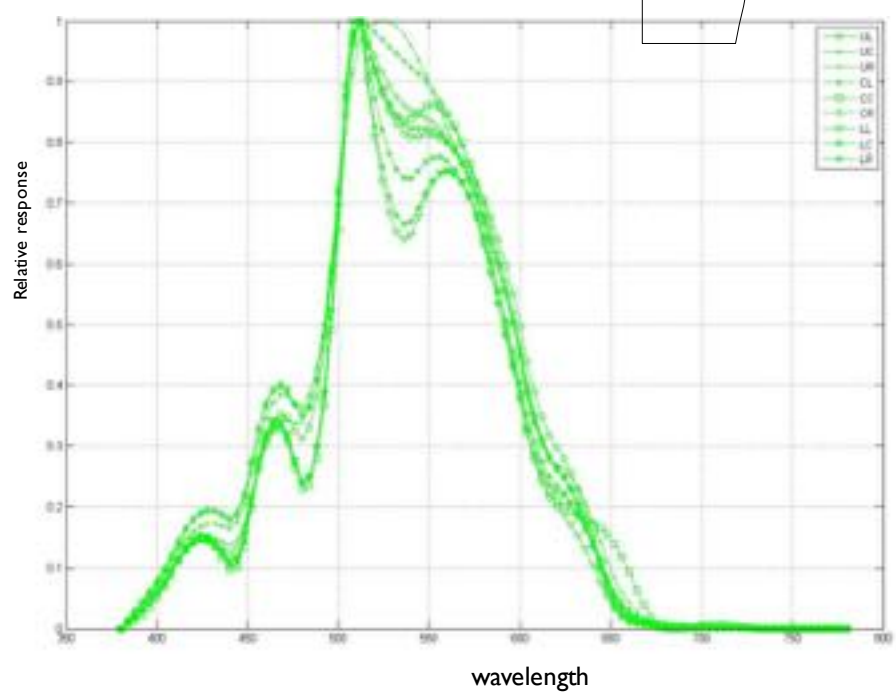
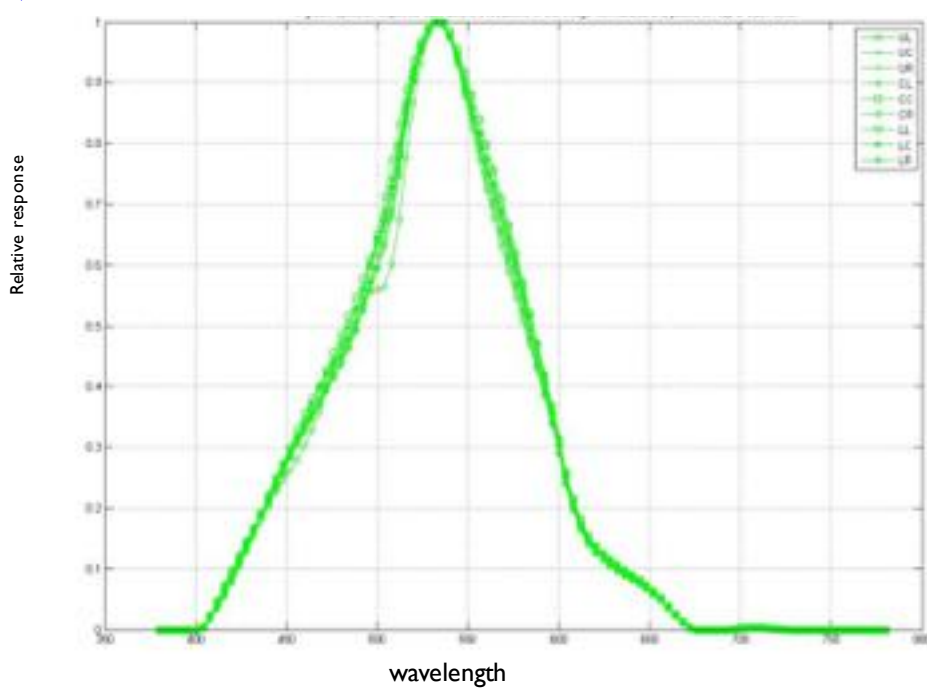
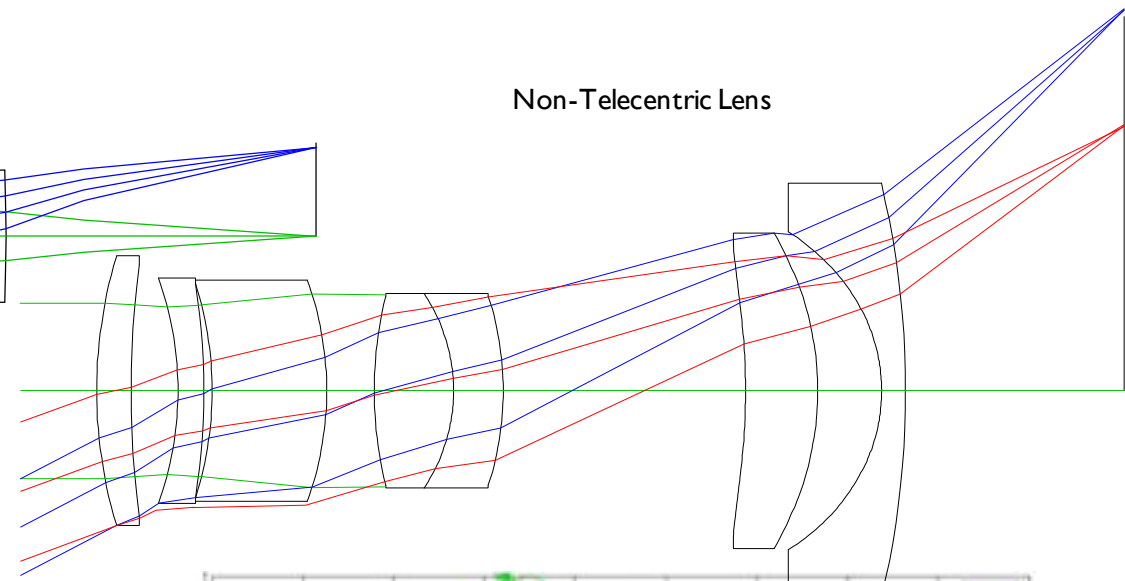
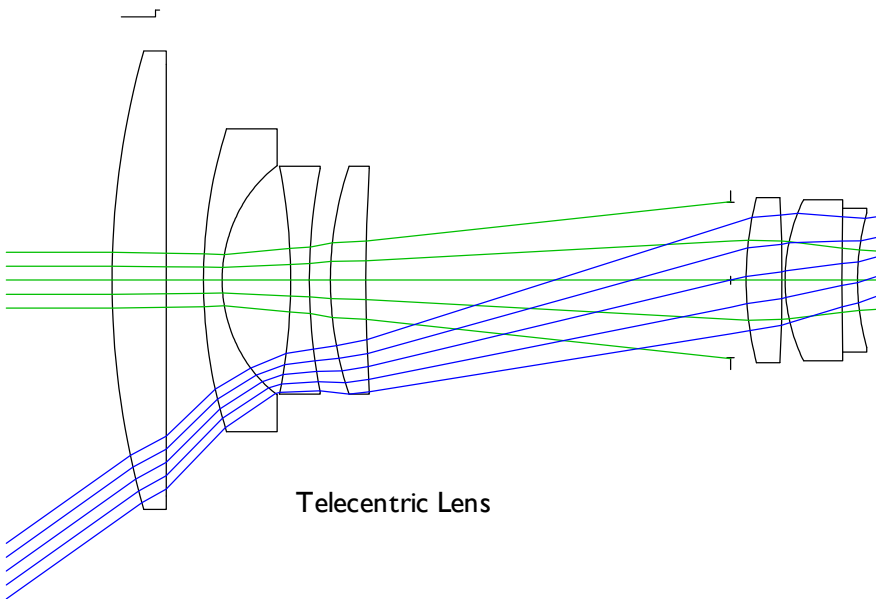
### Drei Tiere klettern minutenlang an Ewald Pötter hoch

MÜNSTER. Ewald Pötter ist überrascht: Als der 93-Jährige in seinem Garten arbeitet, klettern plötzlich drei Eichhörnchen plötzlich drei Eichhörnchen in seinen Hosenanzug. Erzählt. traurlich, aber er habe sie nie gefüttert, sagt der 93-Jährige, der sich aber trotzdem fragt, wie dieser "Überfall" passieren konnte? Aber werden noch Stadtförster der Zoo noch Stadtförster haben eine Erklärung. Dafür hat der Verein "Eichhörnchen Schutz" in Münster eine Erklärung. Dafür ver-

So etwas passiere nur, so der Verein, wenn sie ihre Mutter re ausgehungert. Der Verein sonnen sich. Der Verein notfalls. Er ver-



# Color Shading





# Color Shading



Color-Shading wird auf einer homogenen und spektral gleichmäßigen Fläche gemessen.

Die Angabe erfolgt üblicherweise in  $\Delta E_{ab}$

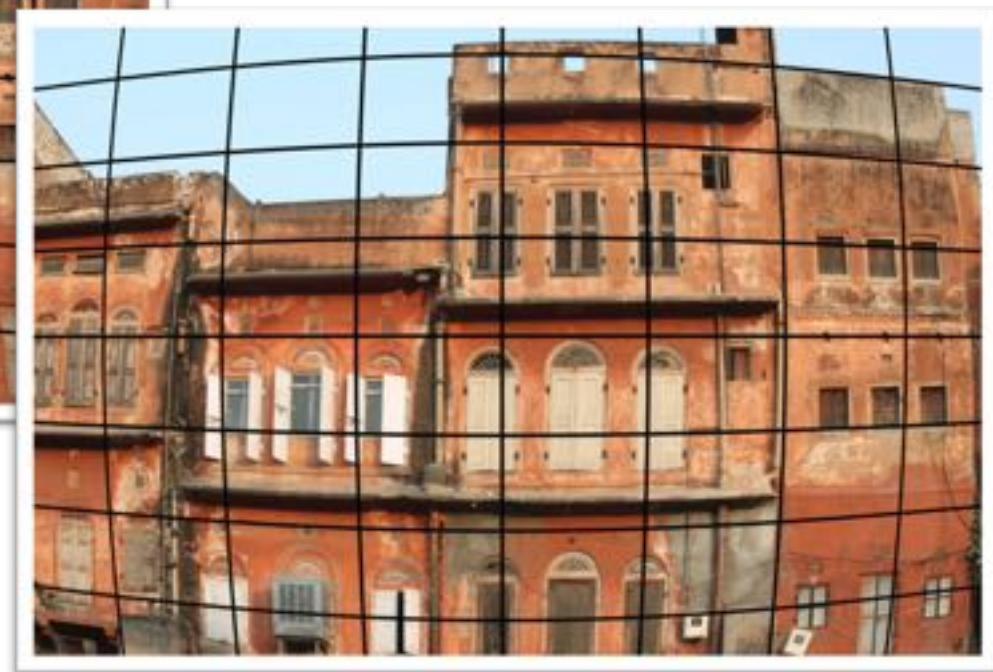


# Verzeichnung

Bei klassischen Objektiven  
gibt es zwei Arten von  
Verzeichnung

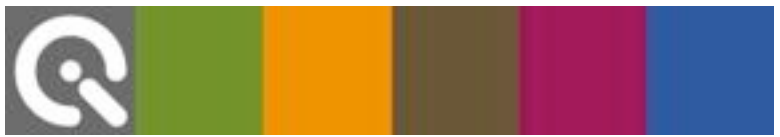


Kissen-Verzeichnung

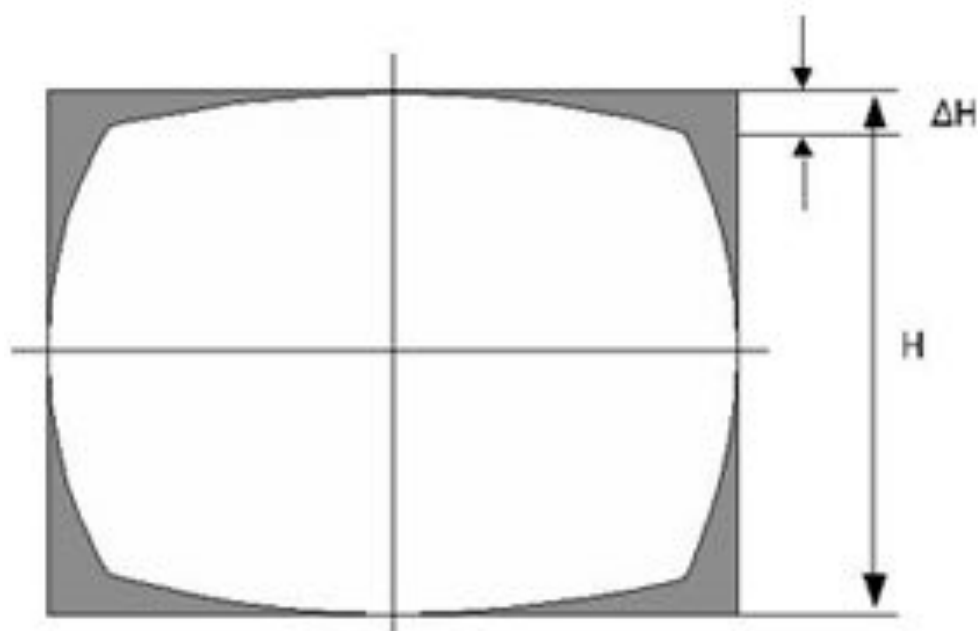


Tonnen-Verzeichnung



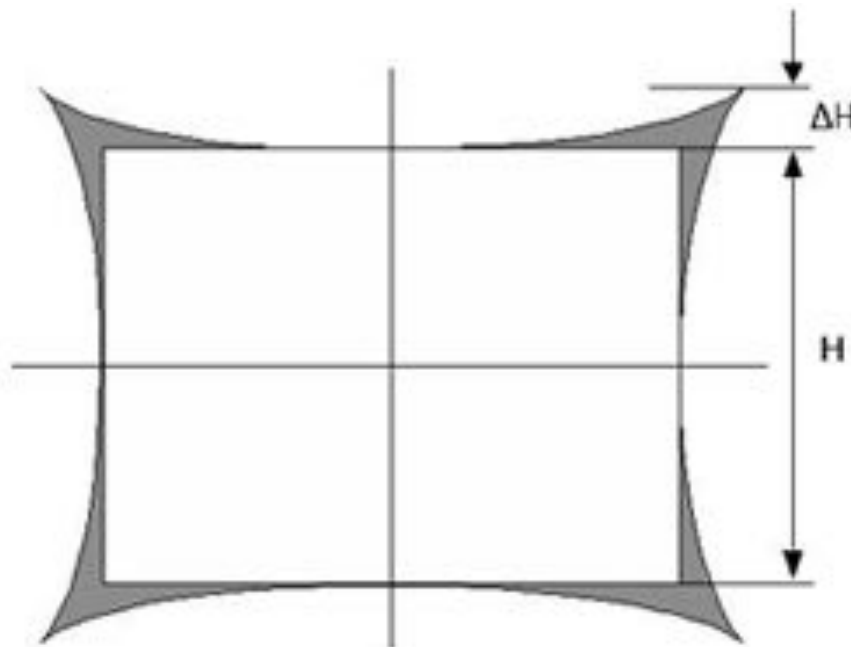


$$D_{TV}[\%] = \frac{\Delta H}{H} \cdot 100$$



picture height distortion  
with barrel shape (negative)

maximum picture height



picture height distortion  
with pincushion shape (positive)

minimum picture height

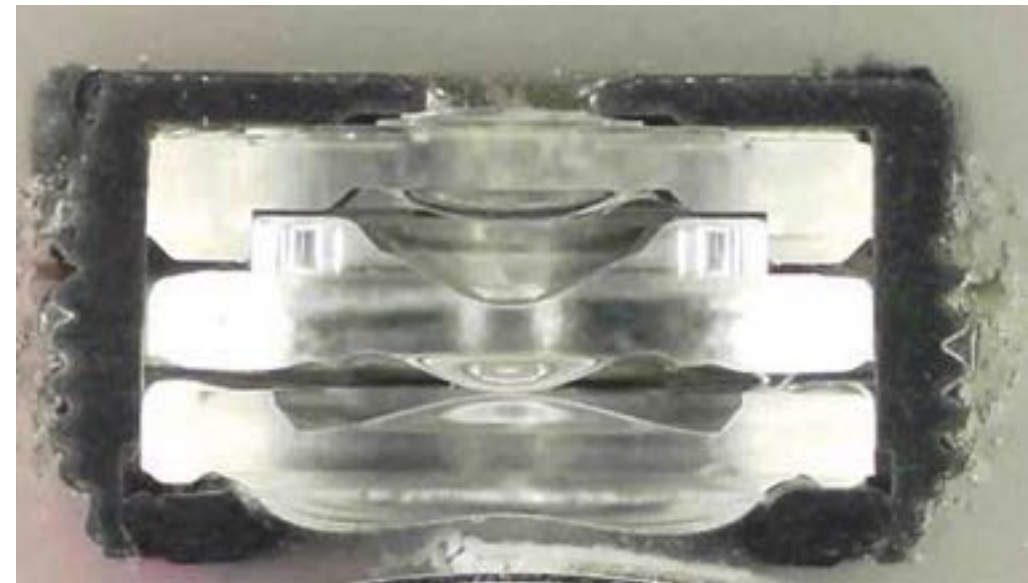
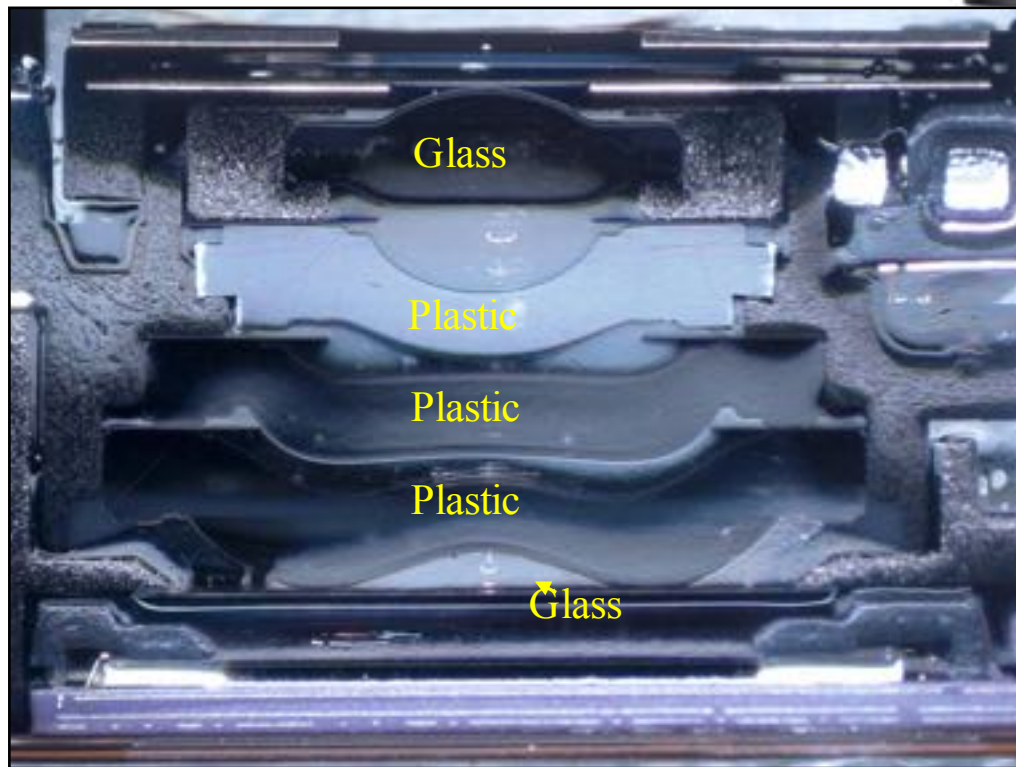




# Verzeichnung



Leica Summilux 35mm f1.4



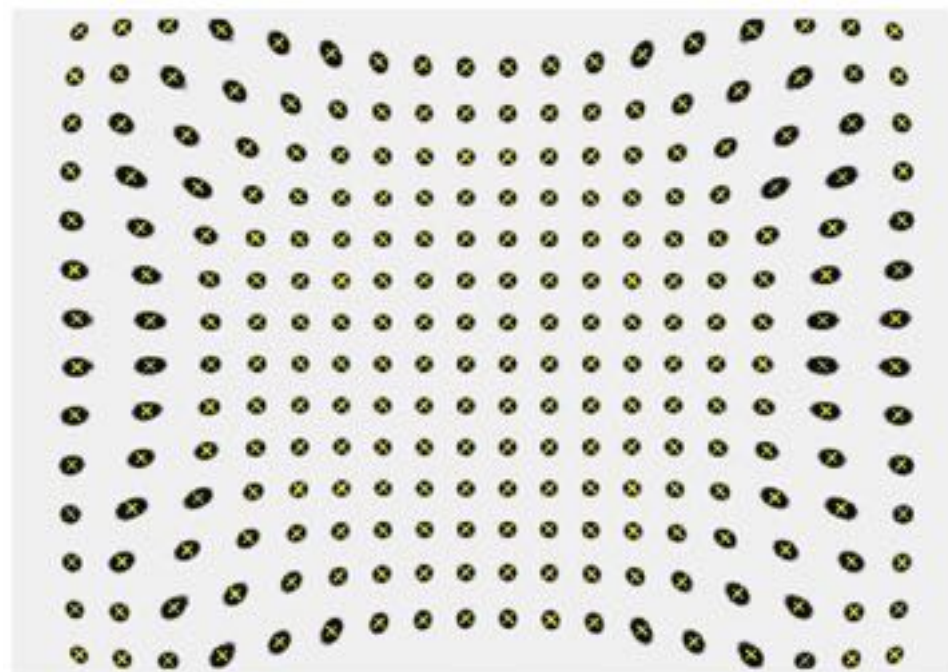
Mobiltelefon

Moderne Optiken in Mobiltelefone kennen Zwischenformen





## Mischform – “Wave Distortion” oder “Moustache Distortion”

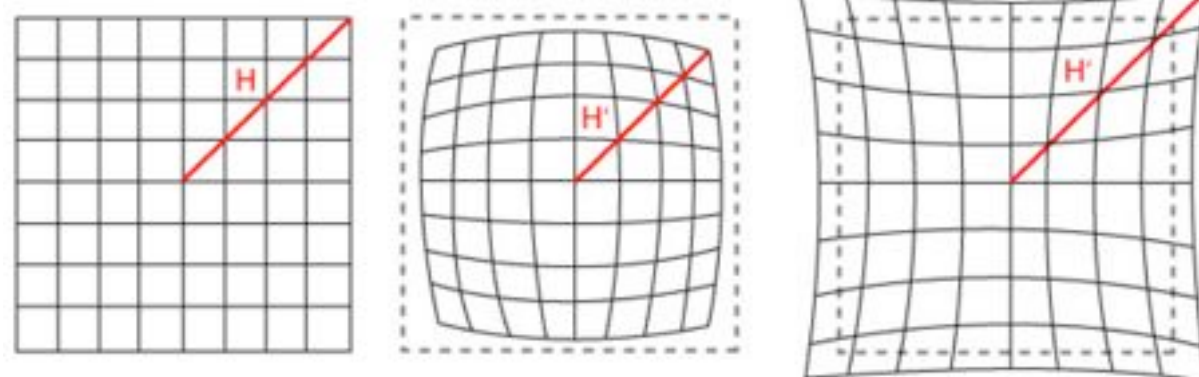
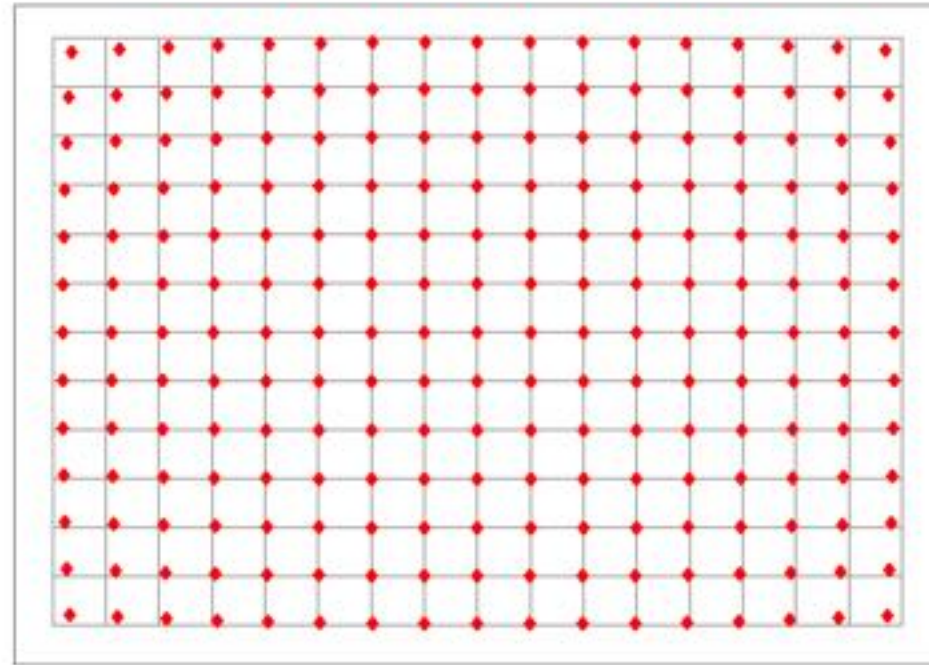




## Local Geometric Distortion

1. Detection von Kreuzen im Bild /Subpixel
2. Berechnung des idealen Gitter
3. Berechnung der Differenz von idealer Position zu realer Position für alle Kreuze

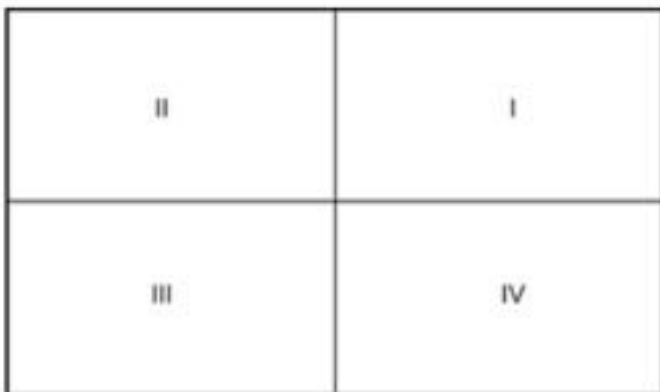
$$D[\%] = \frac{(H' - H)}{H} \cdot 100$$



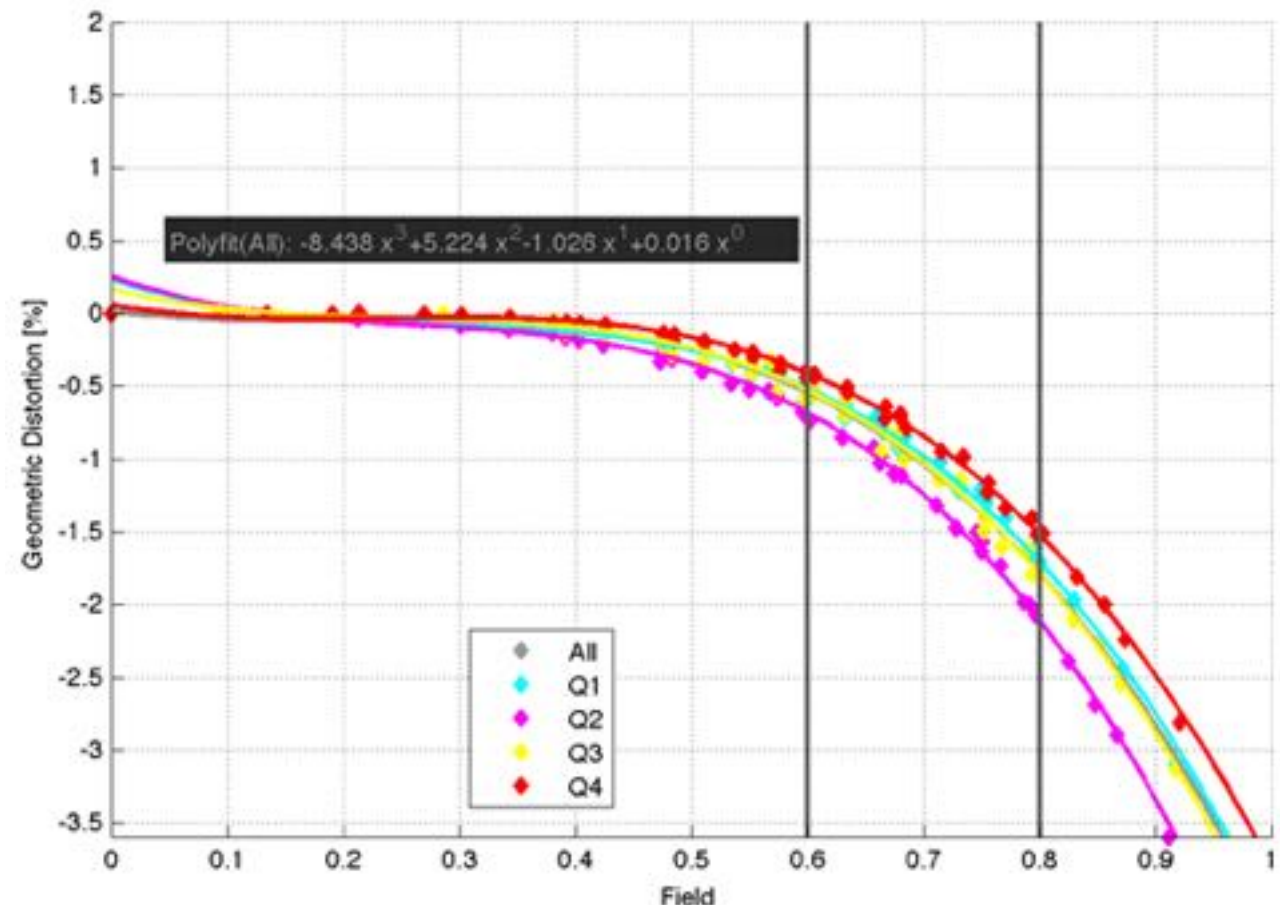


# Local Geometric Distortion

- I. Detektion von Kreuzen im Bild /Subpixel
2. Berechnung des idealen Gitter
3. Berechnung der Differenz von idealer Position zu realer Position für alle Kreuze



the four quadrants (Q1, Q2, Q3, Q4)

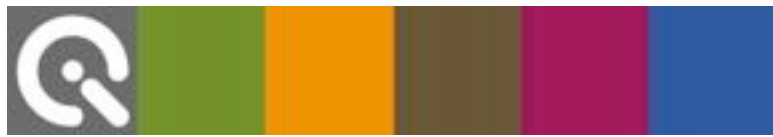




# Auto White Balance

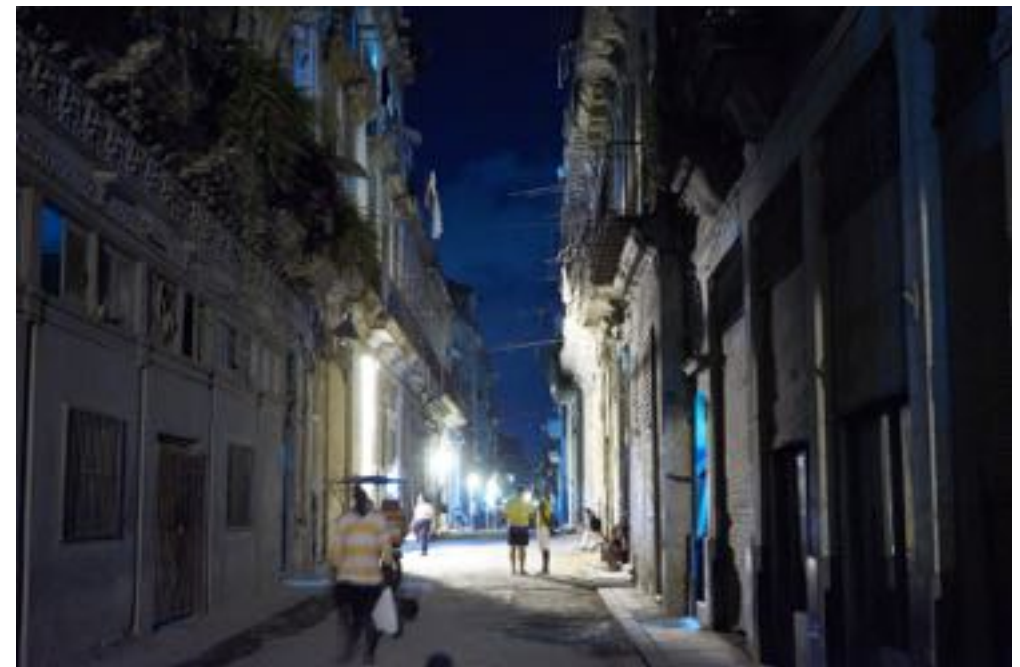
## Was ist ein guter Weißabgleich ?





# Auto White Balance

## Was ist ein guter Weißabgleich ?





360° Kameras



Paralaxe / Anschlussproblem bei Multi-Kamerasystemen

[www.image-engineering.de](http://www.image-engineering.de)



# 360° Kameras



Farbübergänge bei Multi-Kamerasystemen

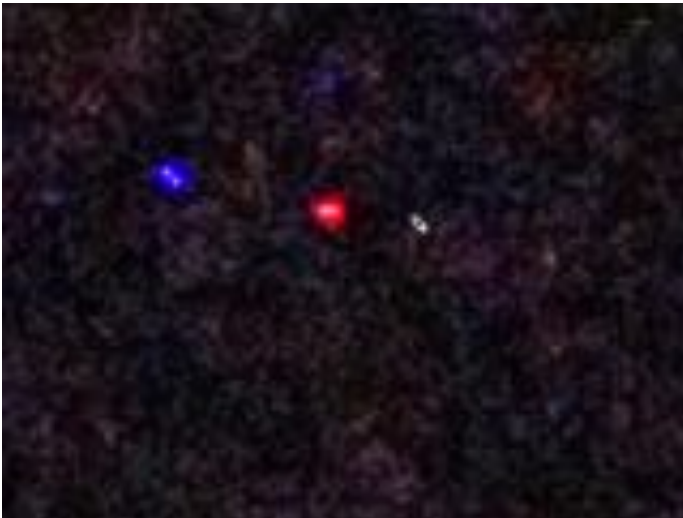




- Kameras werden besser – Messverfahren müssen mithalten
- Neue Technologien erfordern neue Messverfahren
- **Was der Kunde nicht weiß... Den Finger in die Wunde legen**



JPEG



Langzeit ohne NR

## Detailvergrößerung Schwarzbild



Langzeit mit NR



Langzeit mit NR (abgebrochen)



RAW

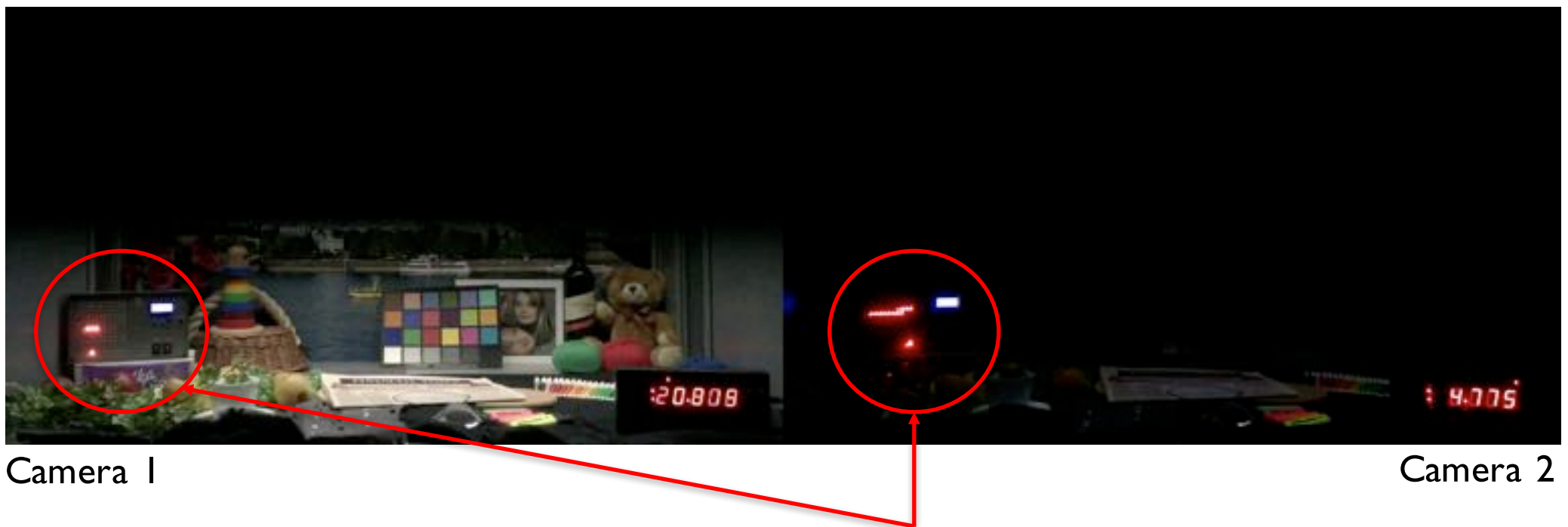
Nikon RAW





# Video Framerate

lightSTUDIO – Testszene mit anpassbaren Lichtbedingungen



Es werden immer 30 Bilder/s in die Datei geschrieben...